

TAVOLA C.

SPIEGAZIONE DELLE FIGURE.

Tavola con le spiegazioni delle figure Arcangeli.

Fig. 330. — Eudorrite del 1° blocco sinistro del
vetro del primo rotture (x 300).

Fig. 331. — Eudorrite del 1° blocco destro del
vetro del primo rotture (x 180).

A. ARCANGETI del

TAVOLA C

SPIEGAZIONE DELLE FIGURE.

Tropicocellio pallidus ARCANGELI.

Fig. 230. — Exopodite del 1° pleopode sinistro del ♂, visto dal lato rostrale (x 300).

Fig. 231. — Endopodite del 1° pleopode destro del ♂, visto dal lato rostrale (x 180).

A. ARCANGELI del.

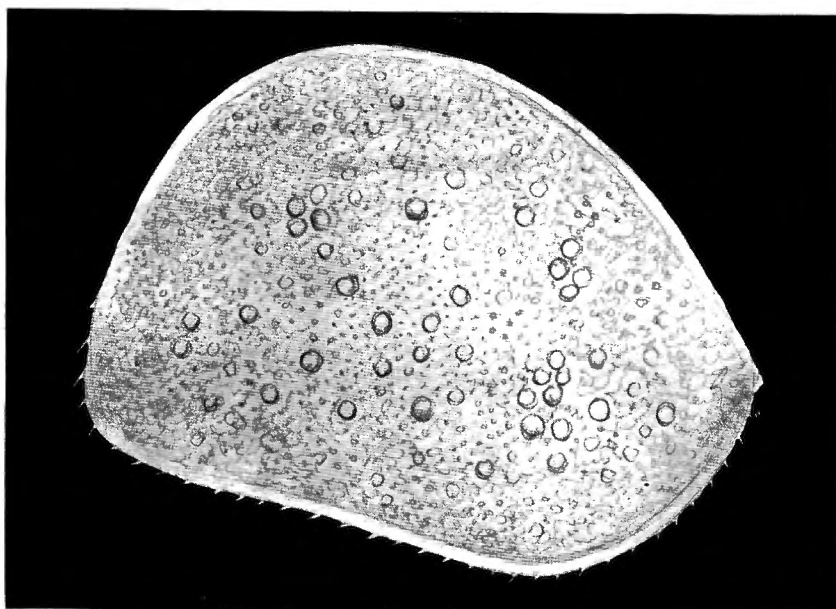


Fig. 230.

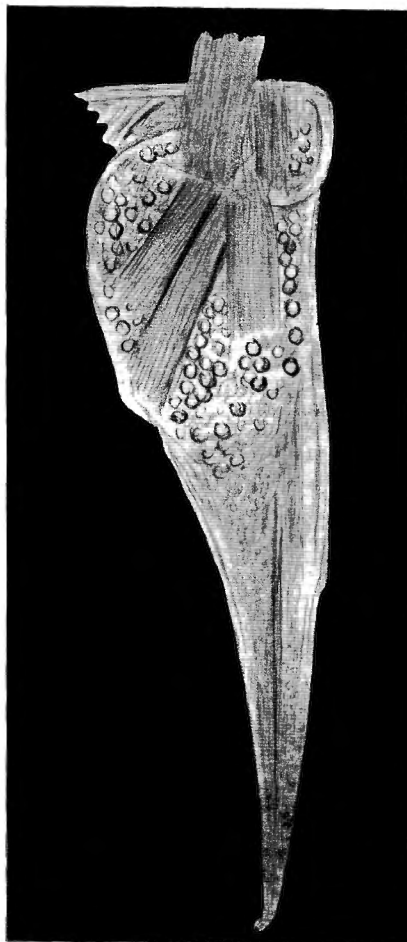


Fig. 231,



TAVOLA CI.

SPIEGAZIONE DELLE FIGURE

Urticante trinitaria Buddle-land.

Fig. 335. — *o*. *Hesseella* delle 3. autem deetis (x 30).

Fig. 336. — *I. heterophyllum* sinistra del a, visto dal lato
posteriore (x 30).

Fig. 334. — Due settimi-settore del tritice mediane del
coccoide del I. heterophyllum del a
(x 250).

Fig. 335. — Eoccoide del I. heterophyllum del a
visto dal lato posteriore (x 30).

A. ARGANGETI del.

AVOVAT

SPIEGAZIONE DELLE FIGURE.

Uramba triangulifera BUDDE-LUND.

Fig. 232. — ♀ Flagello della 2^o antenna destra (x 90).

Fig. 233. — 1^o pereiopode sinistro del ♂, visto dal lato rostrale (x 90).

Fig. 234. — Due aculeo-setole del margine mediale del carpopodite del 1^o pereiopode del ♂, (x 650).

Fig. 235. — Exopodite del 1^o pleopode sinistro del ♂, visto dal lato rostrale (x 90).

A. ARCANGELI del.

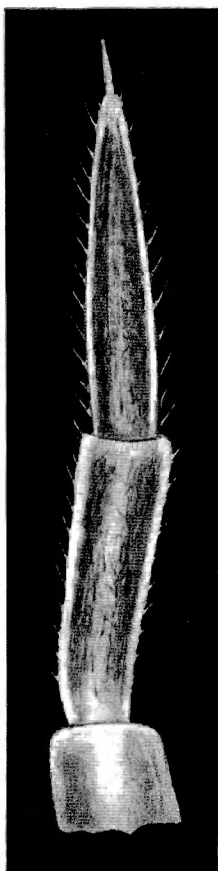


Fig. 232.

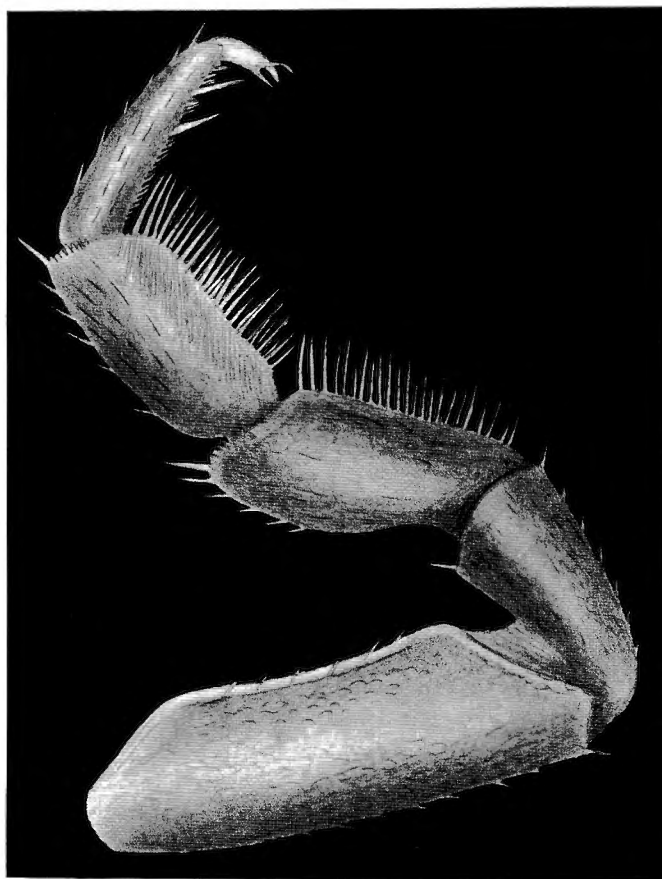


Fig. 233.



Fig. 234.

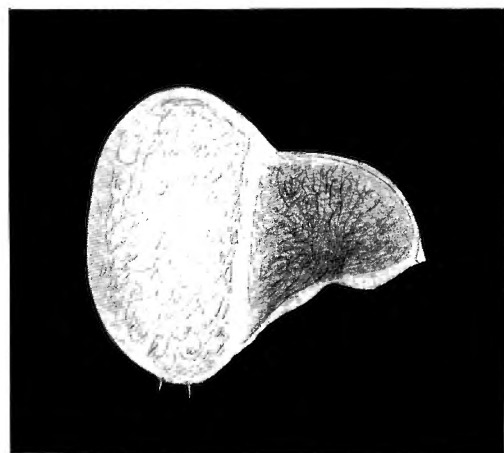


Fig. 235.



TAVOLA CII.

SPIEGAZIONE DELLE FIGURE.

Uroope sinistra della Buder-rupe.

Hg. 336. — Erosione del I. (in alto) e del 3. (in basso) delle due destra delle 2, visto dal verso rottura (x 30).

Hg. 337. — Uroope sinistra del 2, visto dal verso estre (x 30).

A. ARCANGETT det.

TAVOLE CII

SPIEGAZIONE DELLE FIGURE.

Uramba triangulifera BUDDE-LUND.

Fig. 236. — Exopodite del 1° (in alto) e del 2° (in basso) pleopode destri della ♀, visti dal lato rostrale (x 90).

Fig. 237. — Uropode sinistro del ♂, visto dal lato dorsale (x 90).

A. ARCANGELI del.

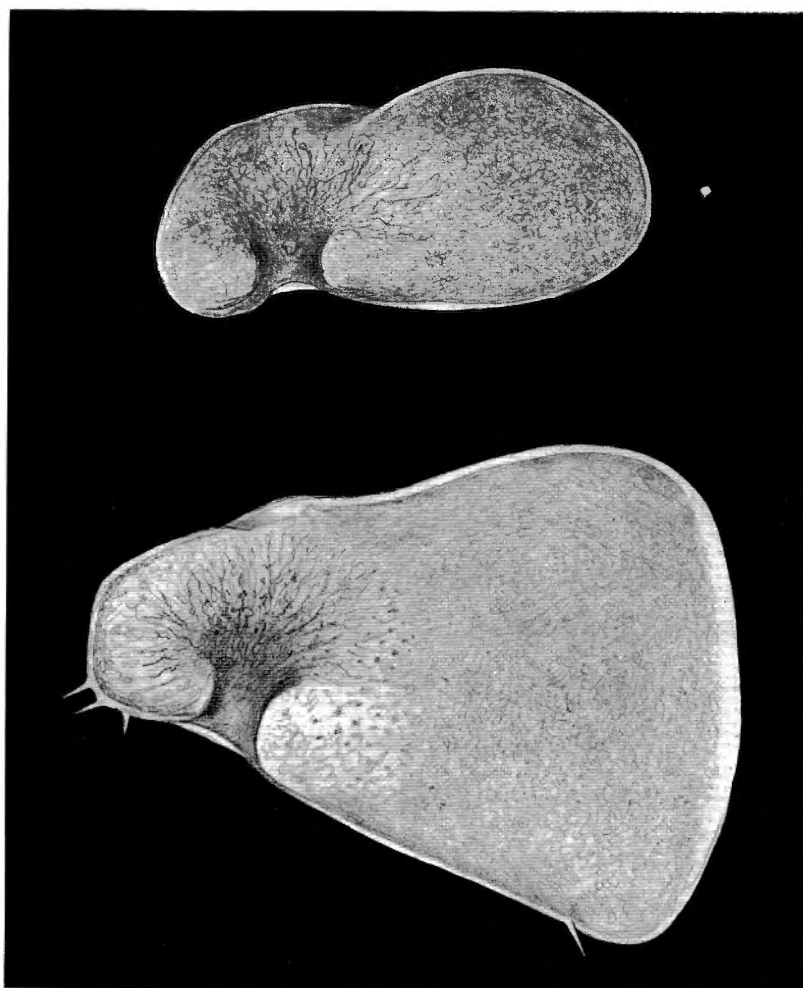


Fig. 236.

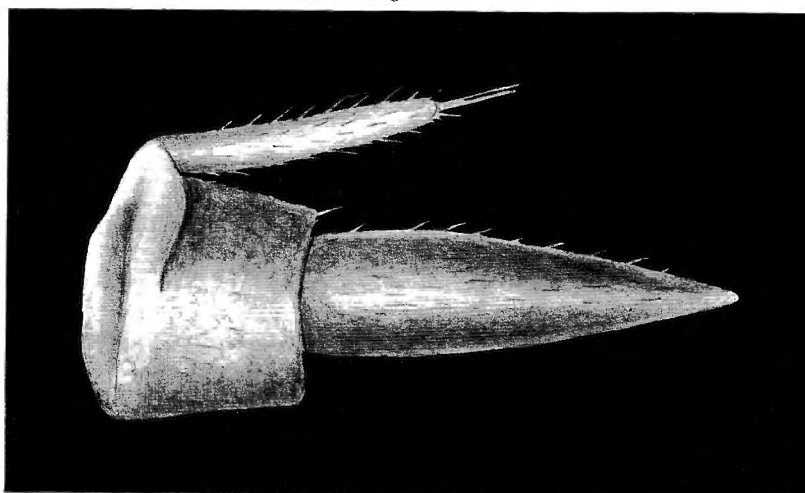


Fig. 237.

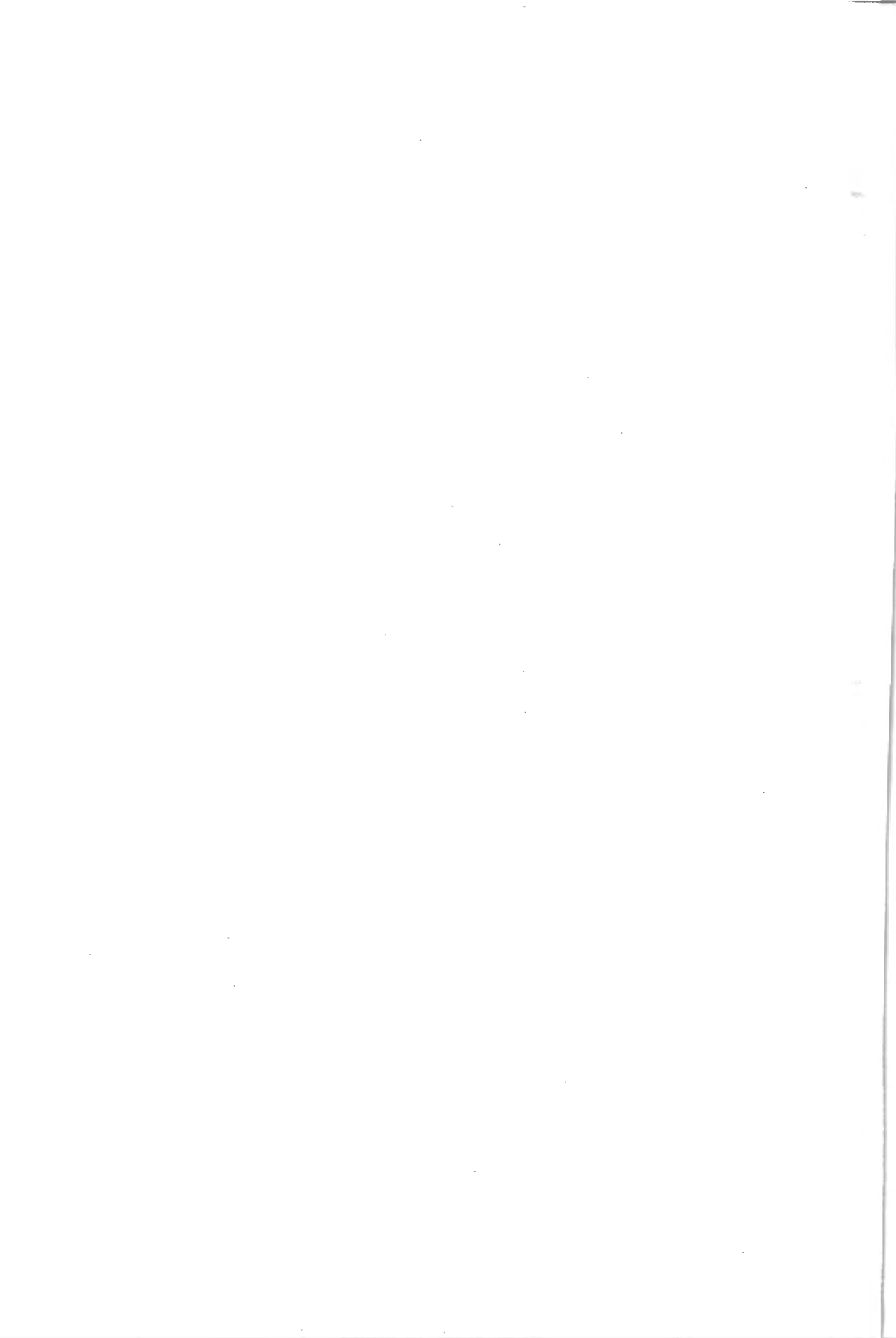


TAVOLA CIII.

SPIEGAZIONE DELLE FIGURE

Abriloscio solidago ARGANCIETI.

Fig. 338. — Cephalon (aversa sinistra) e l. berleonite,
aviti del dorso (x 30).

Fig. 339. — L. berleonite, lato, pleurofano e protoneo.
aviti degli artropodi aviti del dorso (x 34).

Fig. 340. — Parte distale del 5° articolo delle cespo e
taglio dell'antenna destra, avita del ventre
. (OQ x)

A. ARGANCIETI det.

TAVOLA CIII

SPIEGAZIONE DELLE FIGURE.

Aphiloscia sordida ARCANGELI.

Fig. 238. — Cephalon (senza antenne) e 1° pereionite, visti dal dorso (x 30).

Fig. 239. — 7° pereionite, pleon, pleotelson e protopoditi degli uropodi visti dal dorso (x 24).

Fig. 240. — Parte distale del 5° articolo dello scapo e flagello dell'antenna destra, vista dal ventre (x 90).

A. ARCANGELI del.

Exploration du Parc National Albert

Mission H. Damas (1935-1936) Fasc. 15

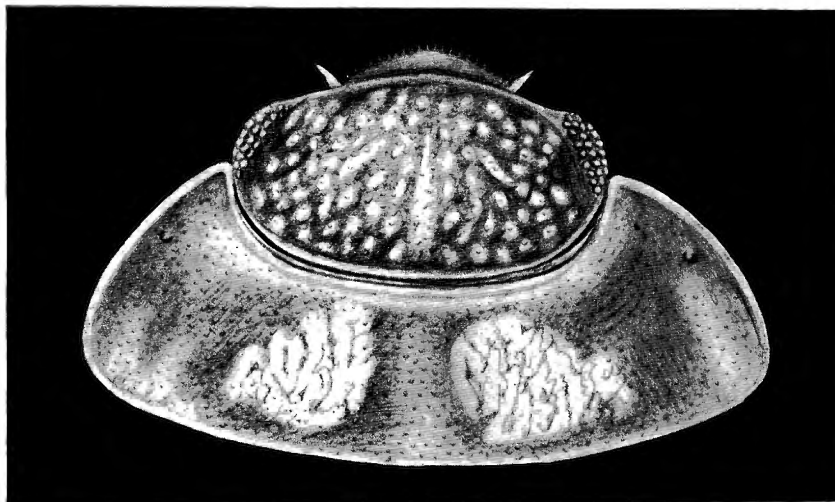


Fig. 238.

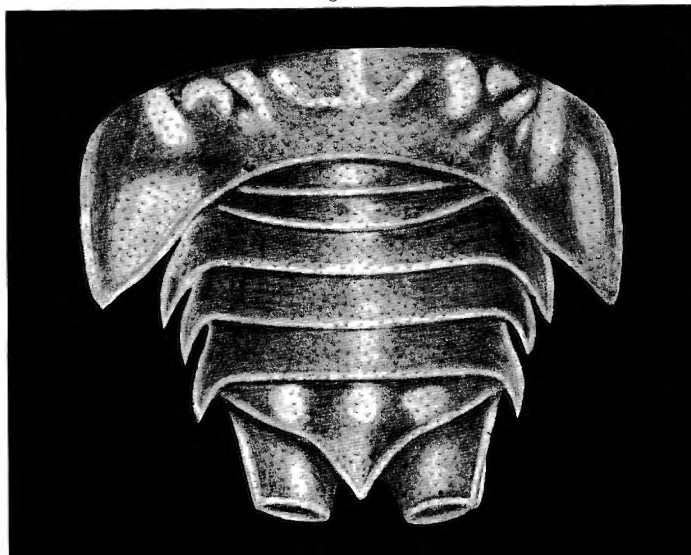


Fig. 239.

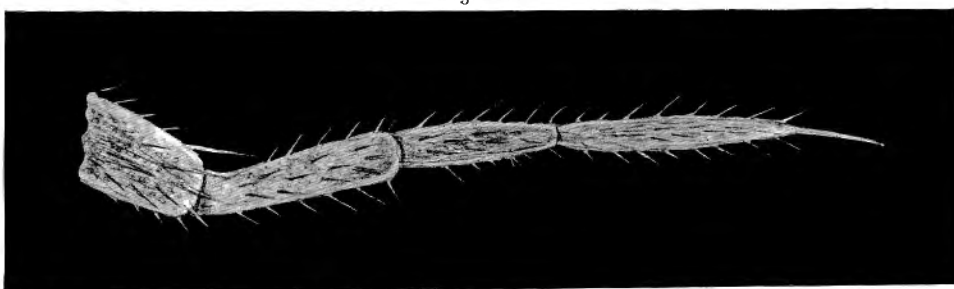


Fig. 240.



TAVOLA CIV.

SPIEGAZIONE DELLE FIGURE.

Affioramenti solidi di Arcangeli.

Fig. 241. — Profilo di detto affioramento.
Lo stesso affioramento visto dal lato opposto
x 440).

Fig. 242. — Profilo di detto affioramento visto dal lato opposto
massiccio delle rovine antiche
x 440).

A. ARCANOELLI det.

VIA VOVAT

SPIEGAZIONE DELLE FIGURE.

Aphiloscia sordida ARCANGELI.

Fig. 241. — Parte distale della lamina esterna della 1° mascella sinistra, vista dal lato rostrale (x 440).

Fig. 242. — Parte distale del lobo masticatorio del massillipede destro, visto dal lato caudale (x 440).

A. ARCANGELI del.

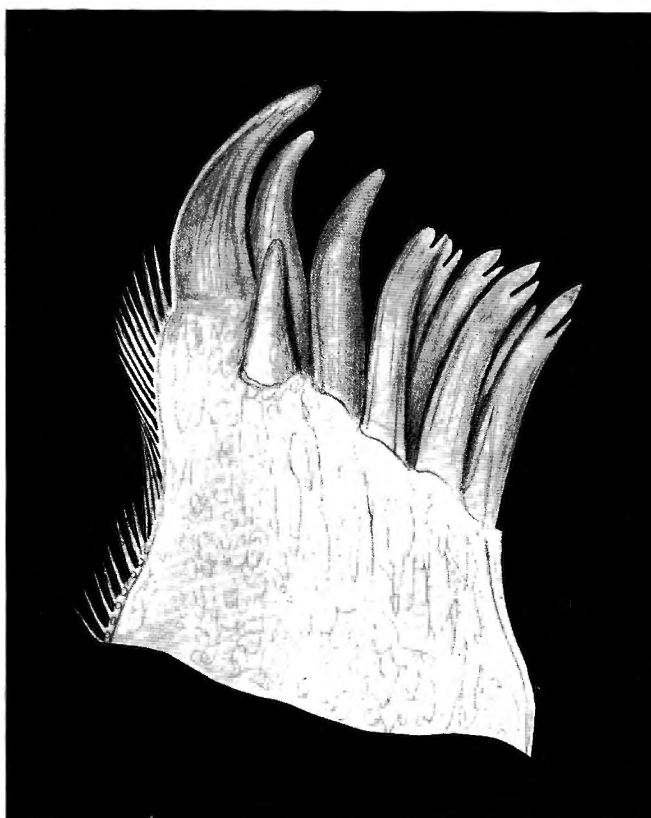


Fig. 241.

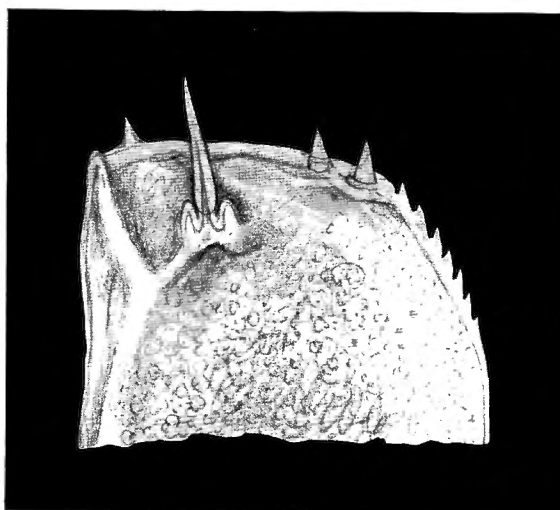


Fig. 242.

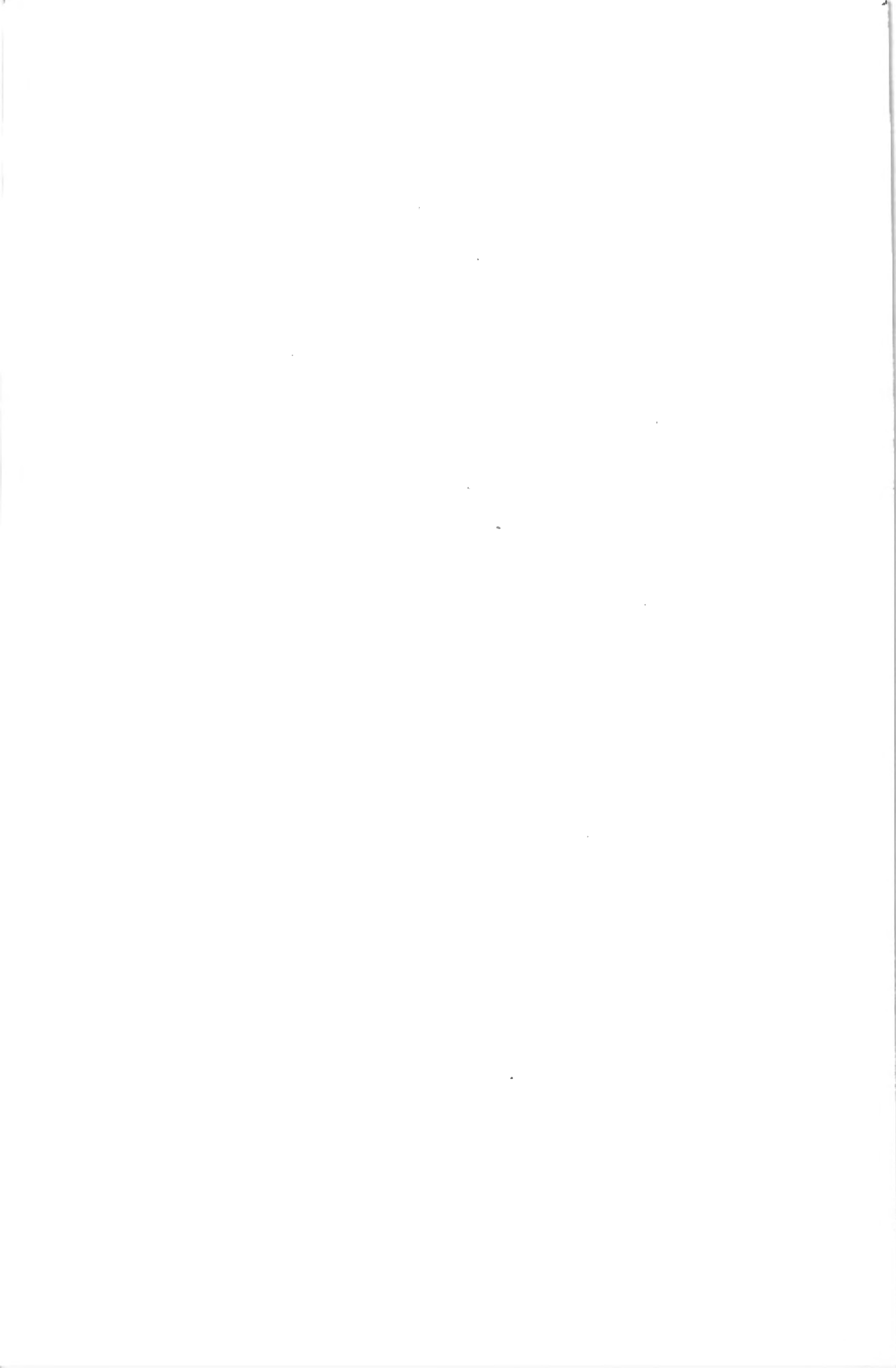


TAVOLA CV.

SPECIAZIONE DELLE FIGURE

Approssimazione della Arcangelo.

Fig. 243. — Parte distale dell'arcuato, metacarpiate
e carpiopodite del Iº. metacarpo del dito
del qº, visto dal lato opposto (x 30).

A. ARCANOELLI del.

VATOVA

SPIEGAZIONE DELLE FIGURE.

Aphiloscia sordida ARCANGELI.

Fig. 243. — Parte distale dell'ischiopodite, meropodite e carpopodite del 1° pereiopode sinistro del ♂, visto dal lato rostrale (x 90).

A. ARCANGELI del.

INSTITUT DES PARCS NATIONAUX DU CONGO BELGE

Exploration du Parc National Albert

Mission H. Damas (1935-1936) Fasc. 15

PL. CV.

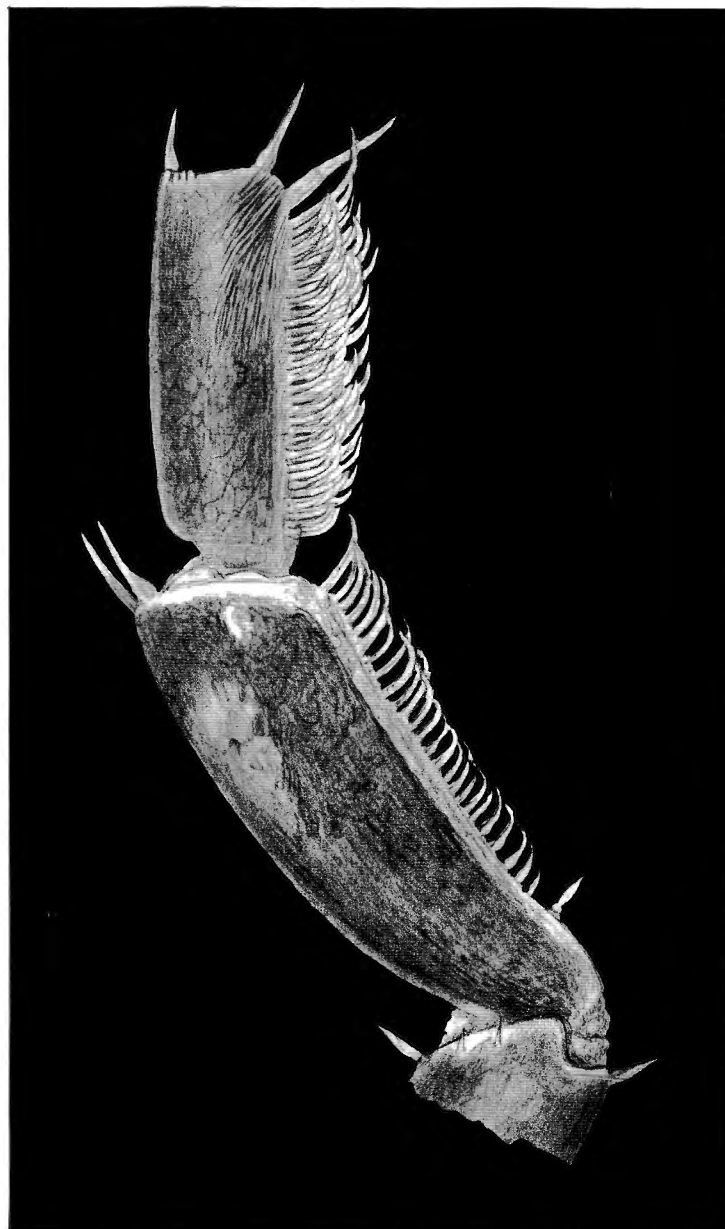


Fig. 243.

TAVOLA CVI.

SPIEGAZIONE DELLE FIGURE

Apposita sorridigia ARGENGHI.

Fig. 345. — a, p, e, tre differenti sapeti di scutellareto
del medaglione medievale del castello di I.
Periodo del xiv. (x 40).

Fig. 346. — I. periodico del reto (del passabocche è ras-
presentsato solo la parte distale), visto dal
lato posteriore delle o. (x 40).

A. ARGENGHI del.

AIOVAT CAV.

SPIEGAZIONE DELLE FIGURE.

Aphiloscia sordida ARCANGELI.

Fig. 244. — a, b, c, tre differenti aspetti di aculeosetole del margine mediale del carpopodite del 1° pereiopode del ♂, (x 440).

Fig. 245. — 1° pereiopode destro (del basipodite è rappresentata solo la parte distale), visto dal lato rostrale della ♀, (x 90).

A. ARCANGELI del.

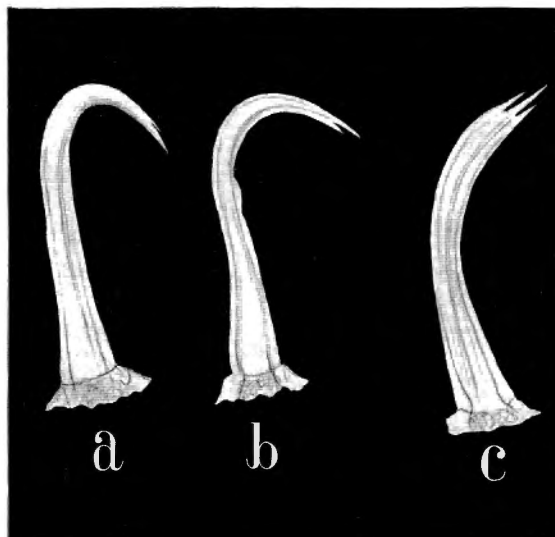


Fig. 244.

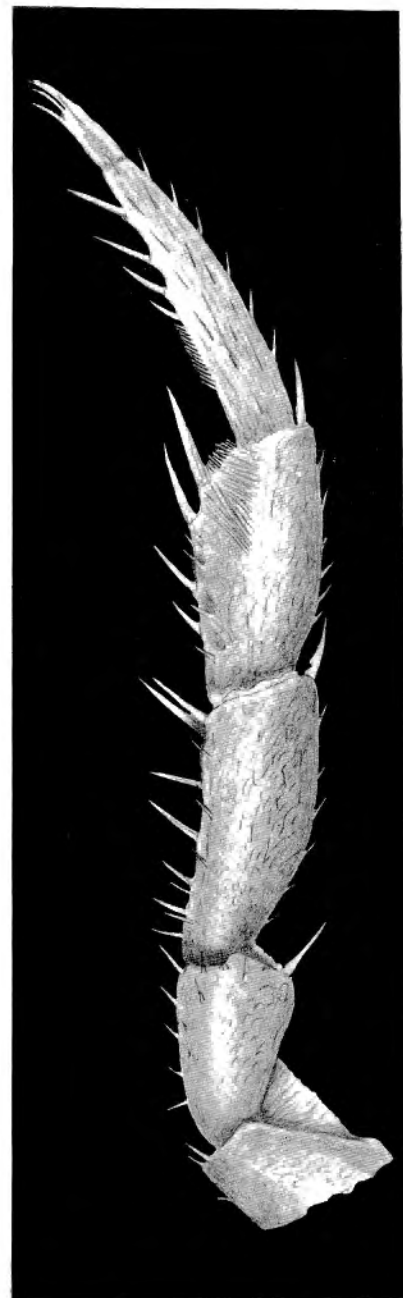


Fig. 245.



TAVOLA CVII.

SPIEGAZIONE DELLE FIGURE.

A. SPIEGAZIONE DELLA FIGURA.

Fig. 246. — Ezecobette del 1º leopardo senz'ore del
avito del latto rostellate (x 10).

Fig. 247. — Ezecobette del 1º leopardo animata del
avito del latto rostellate (x 10).

Fig. 248. — Ezecobette del 2º leopardo senz'ore del
avito del latto rostellate (x 10).

B. ARCANGELI del.

TAVOLA CII

SPIEGAZIONE DELLE FIGURE.

Aphiloscia sordida ARCANGELI.

Fig. 246. — Exopodite del 1º pleopode destro del ♂,
visto dal lato rostrale (x 90).

Fig. 247. — Endopodite del 1º pleopode sinistro del ♂,
visto dal lato rostrale (x 90).

Fig. 248. — Exopodite del 2º pleopode destro del ♂,
visto dal lato rostrale (x 90).

A. ARCANGELI del.

Exploration du Parc National Albert

Mission H. Damas (1935-1936) Fasc. 15

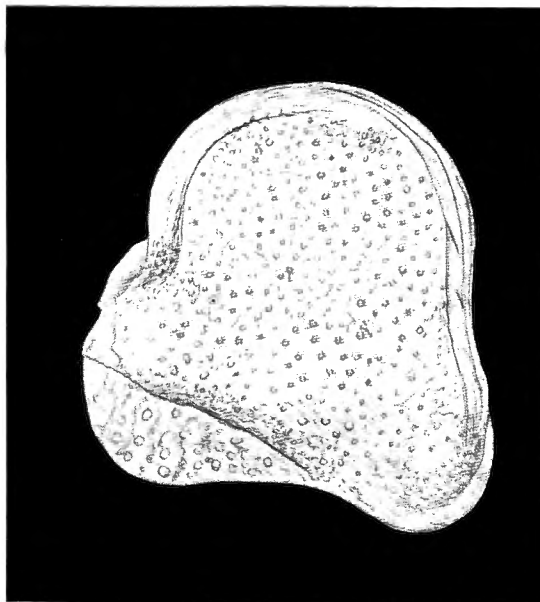


Fig. 246.



Fig. 247.

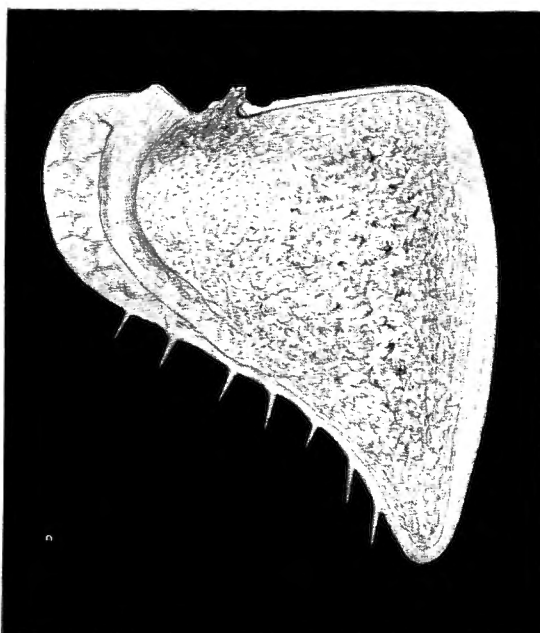


Fig. 248.

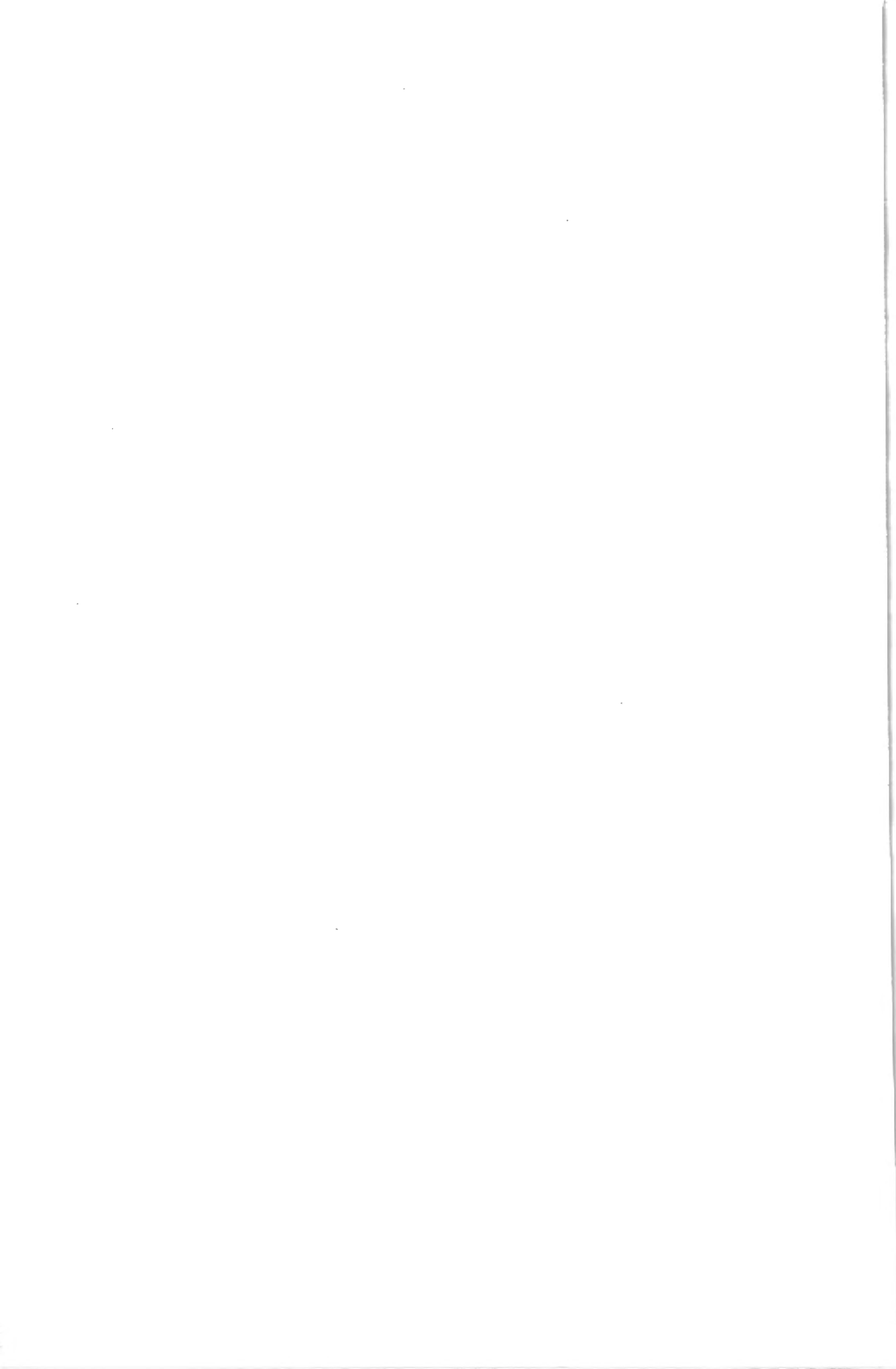


TAVOLA CVIII.

SPIEGAZIONE DELLE FIGURE.

Apicecina sordida Arcanella

Fig. 249. — Erobogene del 1° leoboene sinistro delle
viste del 1° lotto (x 30).

Fig. 250. — Ulroge destro visto dal ventre (massima)
le estremità dell'ebogene (x 30).

A. ARCANELLA del

TAVOLA CXXII.

SPIEGAZIONE DELLE FIGURE.

Aphiloscia sordida ARCANGELI.

Fig. 249. — Exopodite del 1º pleopode sinistro della ♀, visto dal lato rostrale (x 90).

Fig. 250. — Uropode destro, visto dal ventre (mancano le setole terminali dell'exopodite) (x 90).

A. ARCANGELI del.

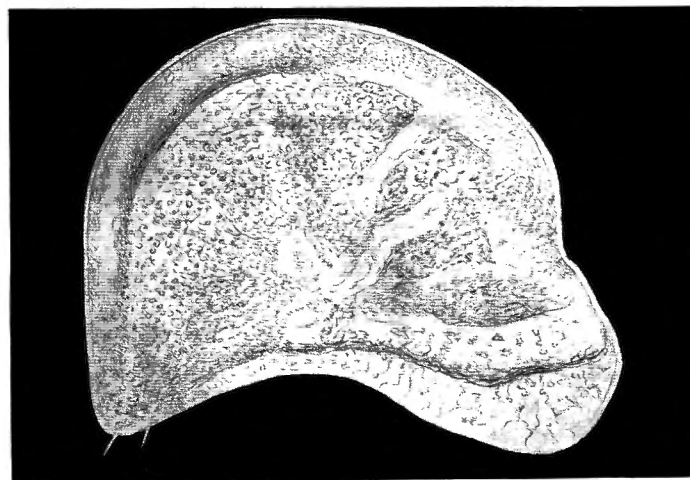


Fig. 249.

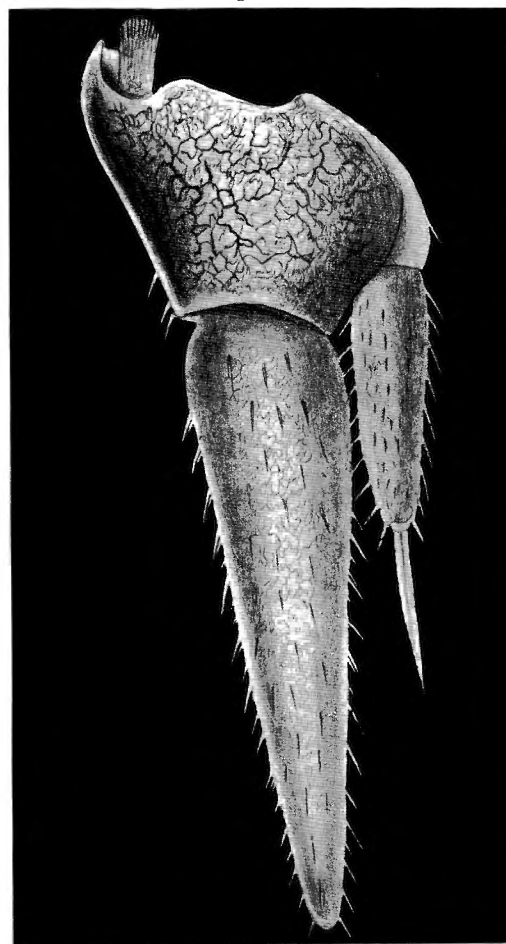


Fig. 250.



TAVOLA CIX.

SPIEGAZIONE DELLE FIGURE.

A. Arcangeli *Apposita congettura*.

Fig. 251. — Parte destra del capitello (ed un poco su).
che delle sinistra), visto dal davanti (x 20).

Fig. 252. — L'intero capitello, visto, isolato da mezzo
destra (risultante dall'esposizione), visto dal
fronte (x 20).

A. ARCANIELLI *et.*

AVOLY XI.

SPIEGAZIONE DELLE FIGURE.

Aphiloscia congoensis ARCANGELI.

Fig. 251. — Parte destra del cephalon (ed un poco anche della sinistra), visto dal davanti (x 20).

Fig. 252. — 7^o pereionite, pleon, pleotelson ed uropode destro (mancante dell'exopodite), visti dal dorso (x 20).

A. ARCANGELI del.

Exploration du Parc National Albert

Mission H. Damas (1935-1936) Fasc. 15

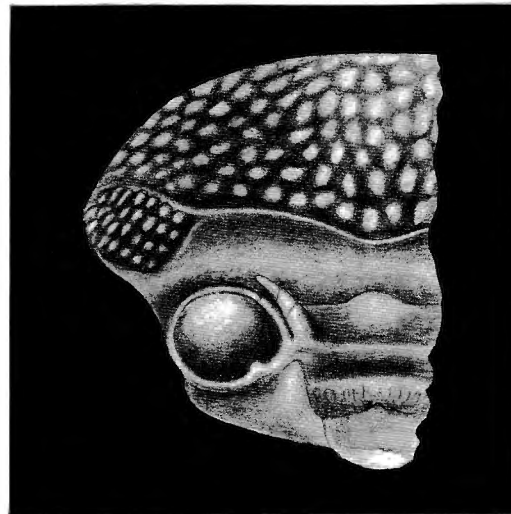


Fig. 251.

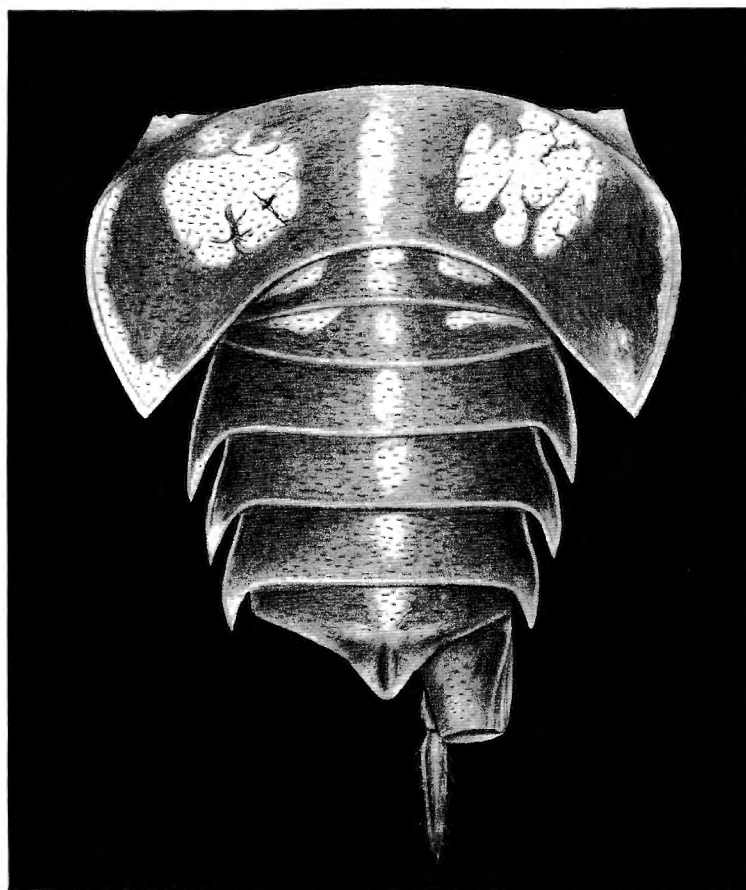


Fig. 252.



TAVOLA CX.

SPIEGAZIONE DELLE FIGURE.

Applique con gocce di Arcangeli.

Fig. 253. — *Antennulae gelatae*, vista delle facce ventrali (x 440).

Fig. 254. — Parte distale del lodo metastomatico del massilipedo sinistro, visto dal lato anterio (x 440).

A. ARCANIELLI del.

TAVOLY CX.

SPIEGAZIONE DELLE FIGURE.

Aphiloscia congolensis ARCANGELI.

Fig. 253. — Antennula destra, vista dalla faccia ventrale (x 440).

Fig. 254. — Parte distale del lobo masticatorio del massilipede sinistro, visto dal lato caudale (x 440).

A. ARCANGELI del.

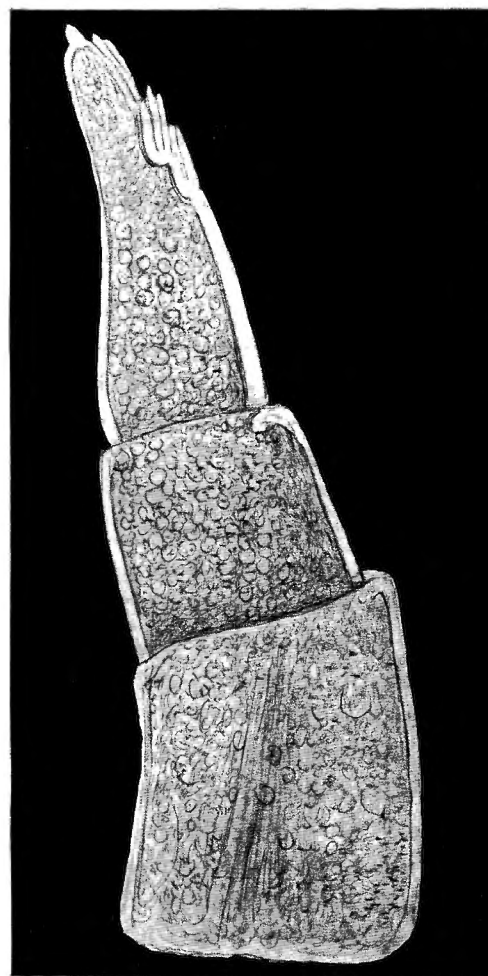


Fig. 253

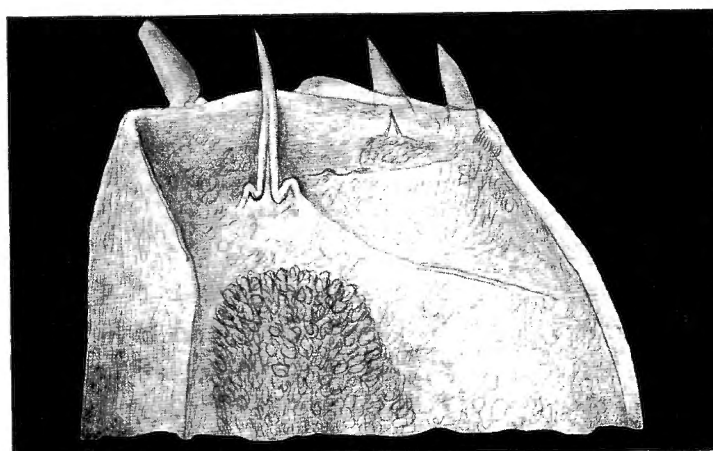


Fig. 254.



TAVOLA CXI.

SPIEGAZIONE DELLE FIGURE.

Abrusacina congoensis ARCANGETI

Fig. 225. — Cefalopatite del J. berlesepatite della del
a, visto dal lato rotante (x 30).

Fig. 226. — Parte del midollo mediano con tre sezioni.
setole del midollo mediano del J. berlesepatite
della del a, (x 440).

a. ARCANGETI del

TAVOLA CXI

SPIEGAZIONE DELLE FIGURE.

Aphiloscia congoensis ARCANGELI.

Fig. 255. — Carpopodite del 1º pereiopode destro del ♂, visto dal lato rostrale (x 90).

Fig. 256. — Parte del margine mediale con tre aculeo-setole del meropodite del 7º pereiopode destro del ♂, (x 440).

A. ARCANGELI del.

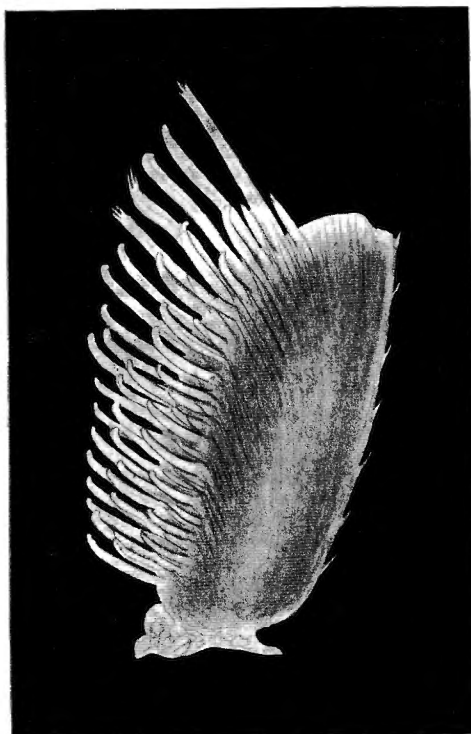


Fig. 255.

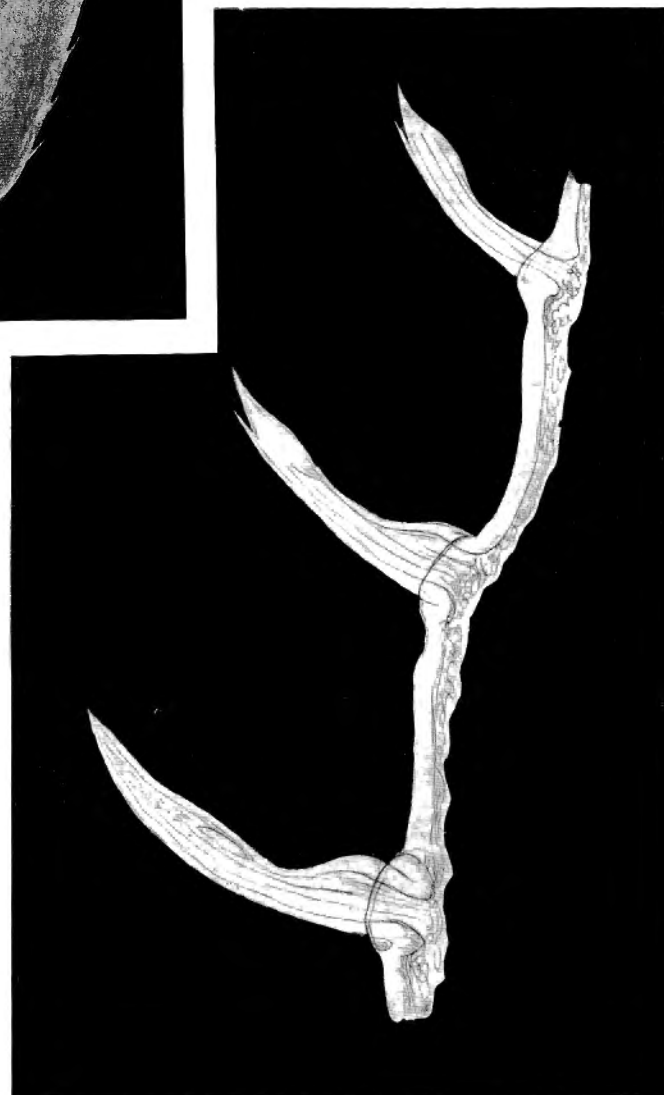


Fig. 256.



TAVOLA CXII.

SPIEGAZIONE DELLE FIGURE.

Applicazione corologica ARCANOGLI.

Fig. 25. — Parte distale del petiolo, rachide e
parte basimolare del metapode del 3° be-
reirode destro del a, visto dal lato de-
stra (x 30).
A. ARCANOGLI det.

TAVOLA CXII.

SPIEGAZIONE DELLE FIGURE.

Aphiloscia congolensis ARCANGELI.

Fig. 257. — Parte distale del basipodite, ischiopodite e parte prossimale del meropodite del 7º periopode destro del ♂, visto dal lato ros-trale (x 90).

A. ARCANGELI del.

Exploration du Parc National Albert

Mission H. Damas (1935-1936) Fasc. 15

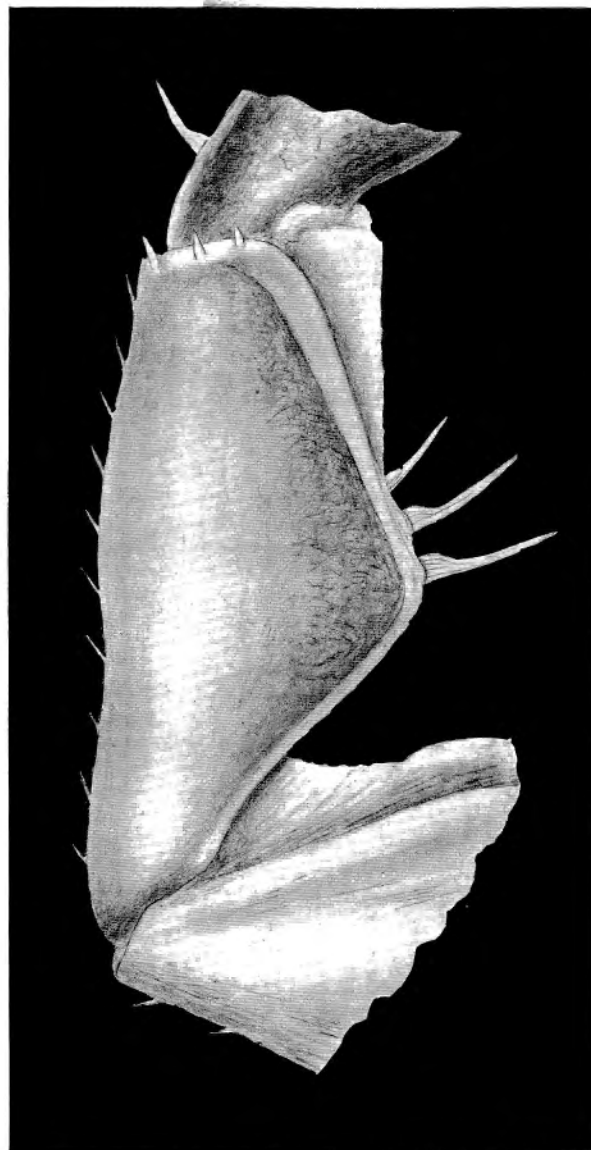


Fig. 257.

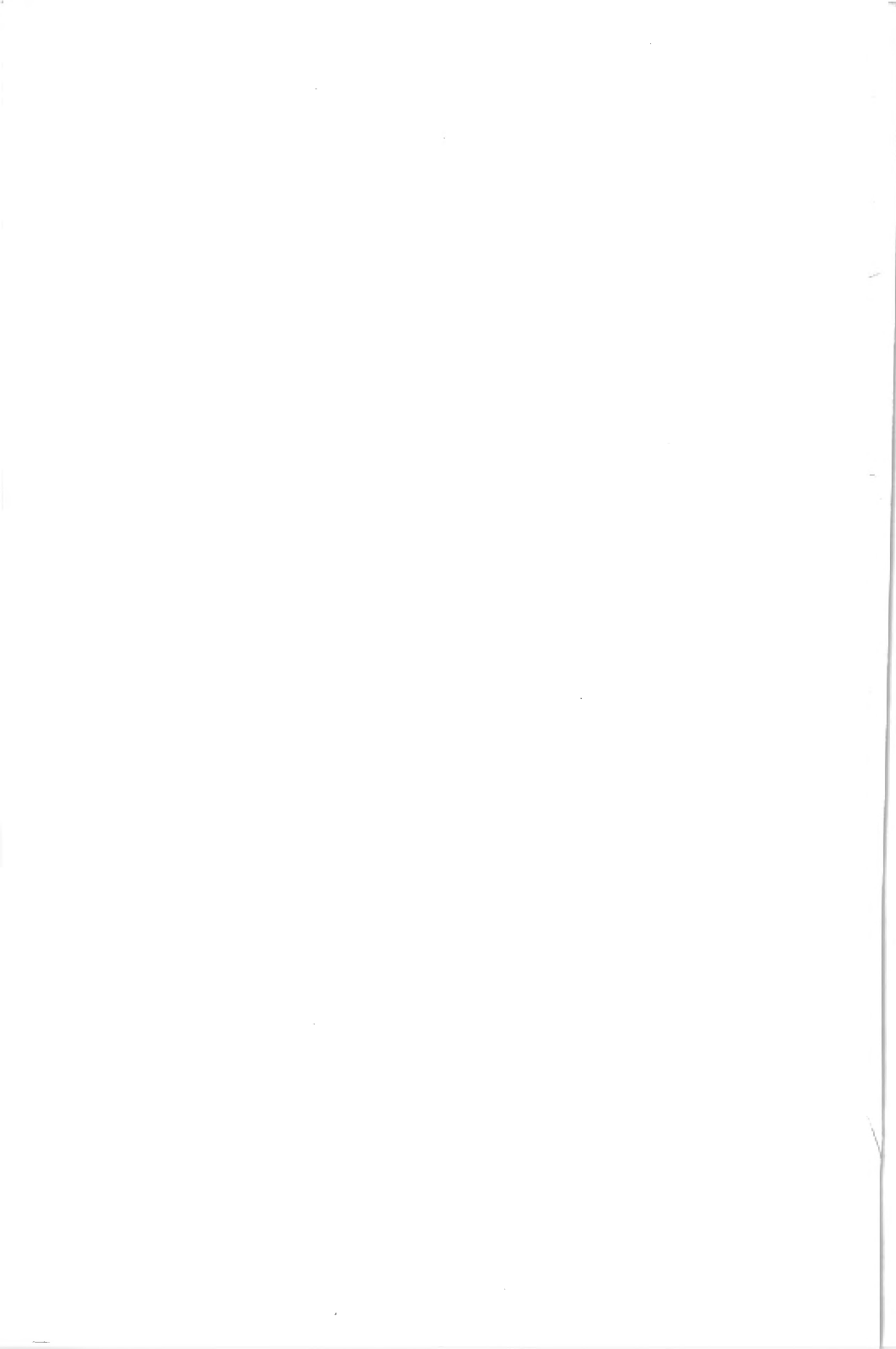


TAVOLA CXIII.

SPIEGAZIONE DELLE FIGURE.

Vibrioscopic conjugation ARCANGETI.

Fig. 328. — Vibrioscopic conjugation of *Escherichia coli* to *Salmonella typhimurium* (x 10).

A. ARCANGETI *et al.*

TAVOLA CXIII.

SPIEGAZIONE DELLE FIGURE.

Aphiloscia congolensis ARCANGELI.

Fig. 258. — Exopodite del 1º pleopode destro del ♂,
visto dal lato rostrale (x 90).

A. ARCANGELI del.

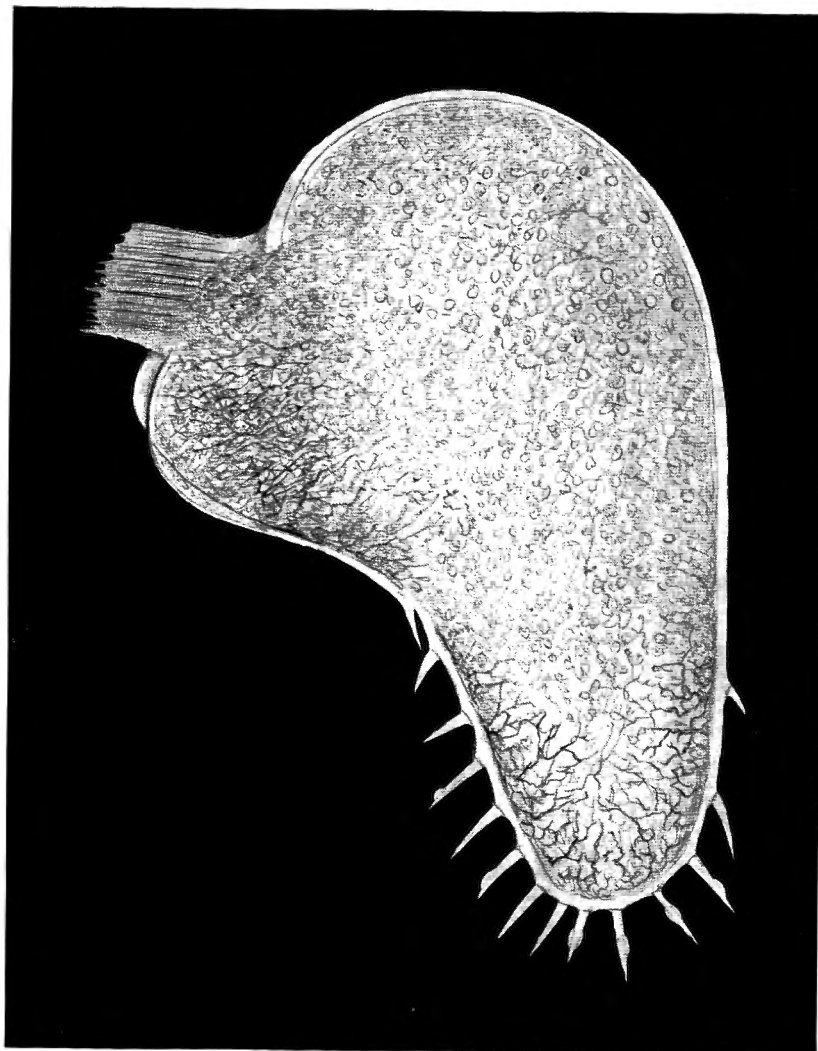


Fig. 258,



TAVOLA CXIV.

SPIEGAZIONE DELLE FIGURE.

Abitazione con portico di ARCANO.

Fig. 26. — Eseguite per I. belvedere detto per
avito dal pianta (x 30).

A. ARCANO per

.VIXO AJOVAT.

SPIEGAZIONE DELLE FIGURE.

Aphiloscia congolensis ARCANGELI.

Fig. 259. — Endopodite del 1º pleopode destro del ♂,
visti dal lato rostrale (x 90).

A. ARCANGELI del.

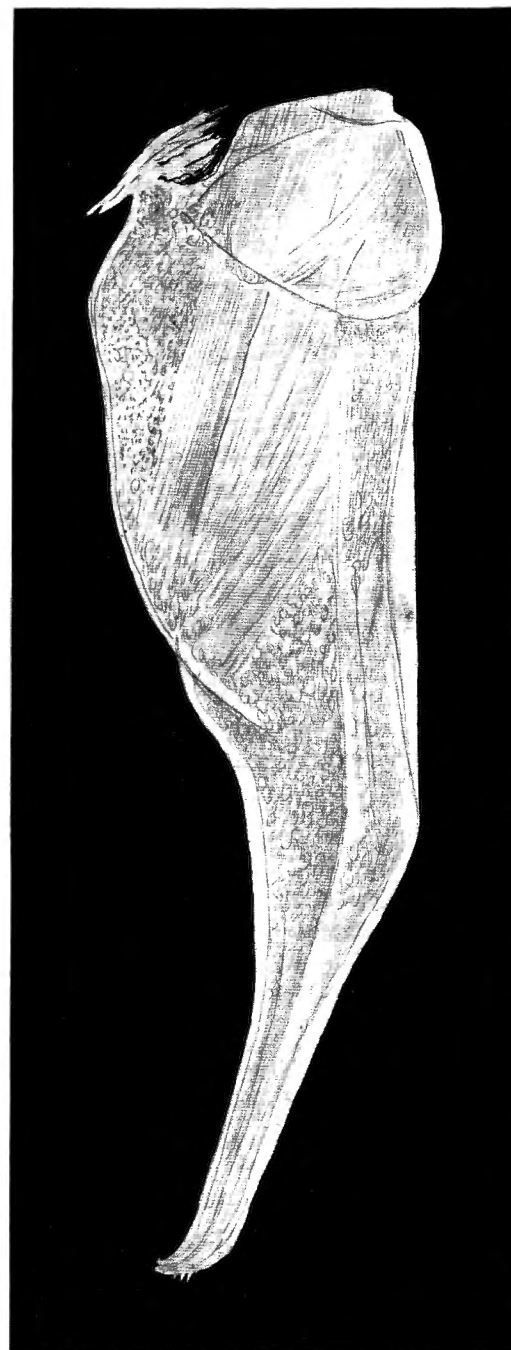


Fig. 259.

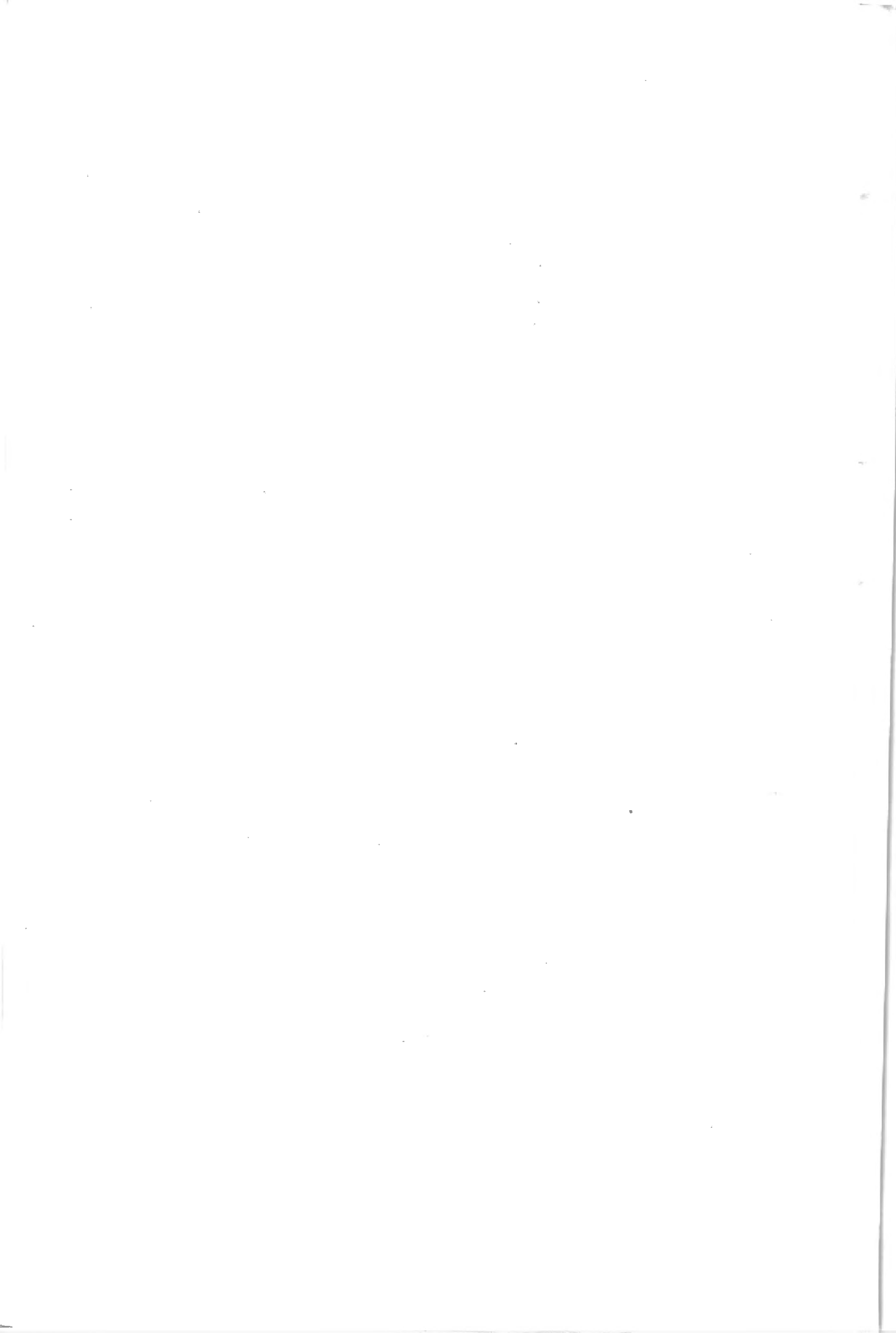


TAVOLA CXV.

SPIEGAZIONE DELLE FIGURE

Affloscic congegni ARCANELLI.

Fig. 260. — Esempio di 1° blocco simile delle 2
arie di 10 rotelle (x 30).

Fig. 261. — Solo raffigurati altri sei dei sette (e non
tutamente, ma per darci è sufficiente alle
quattro) i berleoni e i 3 di un
esemplare o per dimostrare un caso per-
tologico considerante delle trenta braccia
di berleoni e le 7 e mezzo dimensione delle
prime sei (x 35).

A. ARCANELLI del.

VXO AJOVAT

SPIEGAZIONE DELLE FIGURE.

Aphiloscia congolensis ARCANGELI.

Fig. 260. — Exopodite del 1º pleopode sinistro della ♀, visto dal lato rostrale (x 90).

Fig. 261. — Sono raffigurati visti dal lato destro (e non totalmente, ma per quanto è sufficiente alla dimostrazione) i pereioniti 5 a 7 di un esemplare ♀ per dimostrare un caso teratologico consistente nella fusione parziale dei pereioniti 6 e 7 e nell'inversione dell'epimere del 6º (x 25).

A. ARCANGELI del.

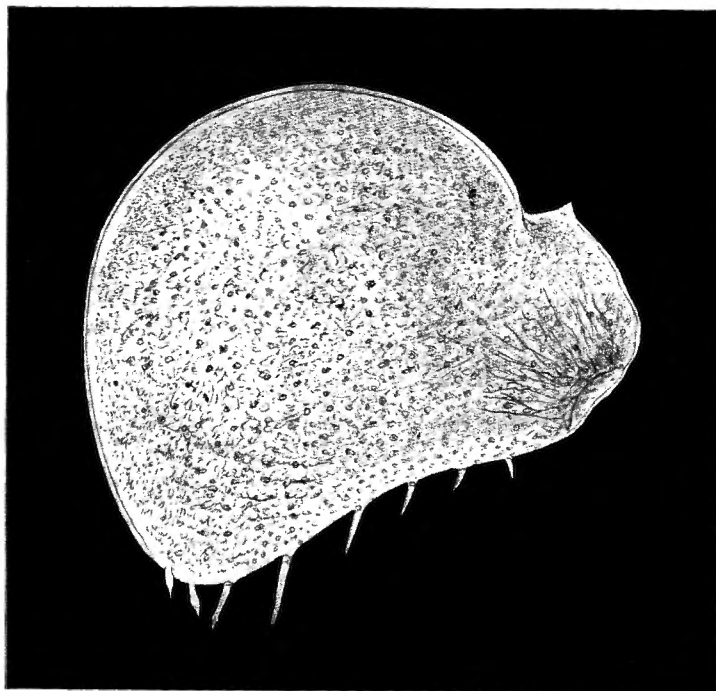


Fig. 260.

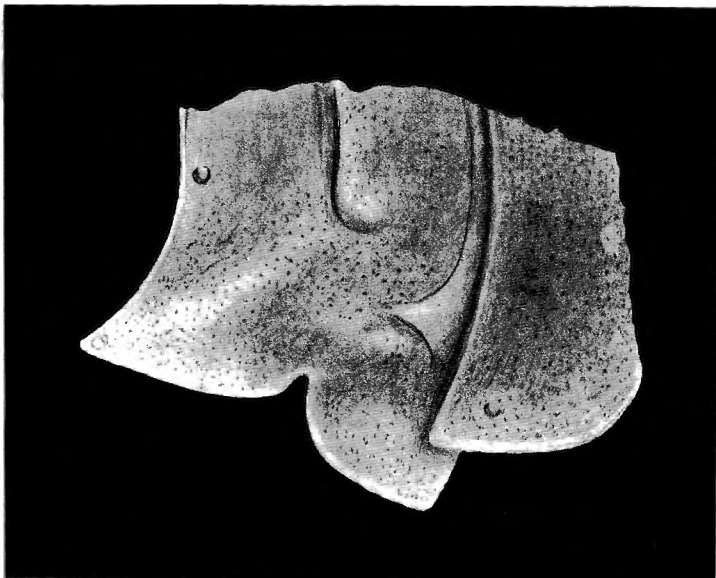


Fig. 261.

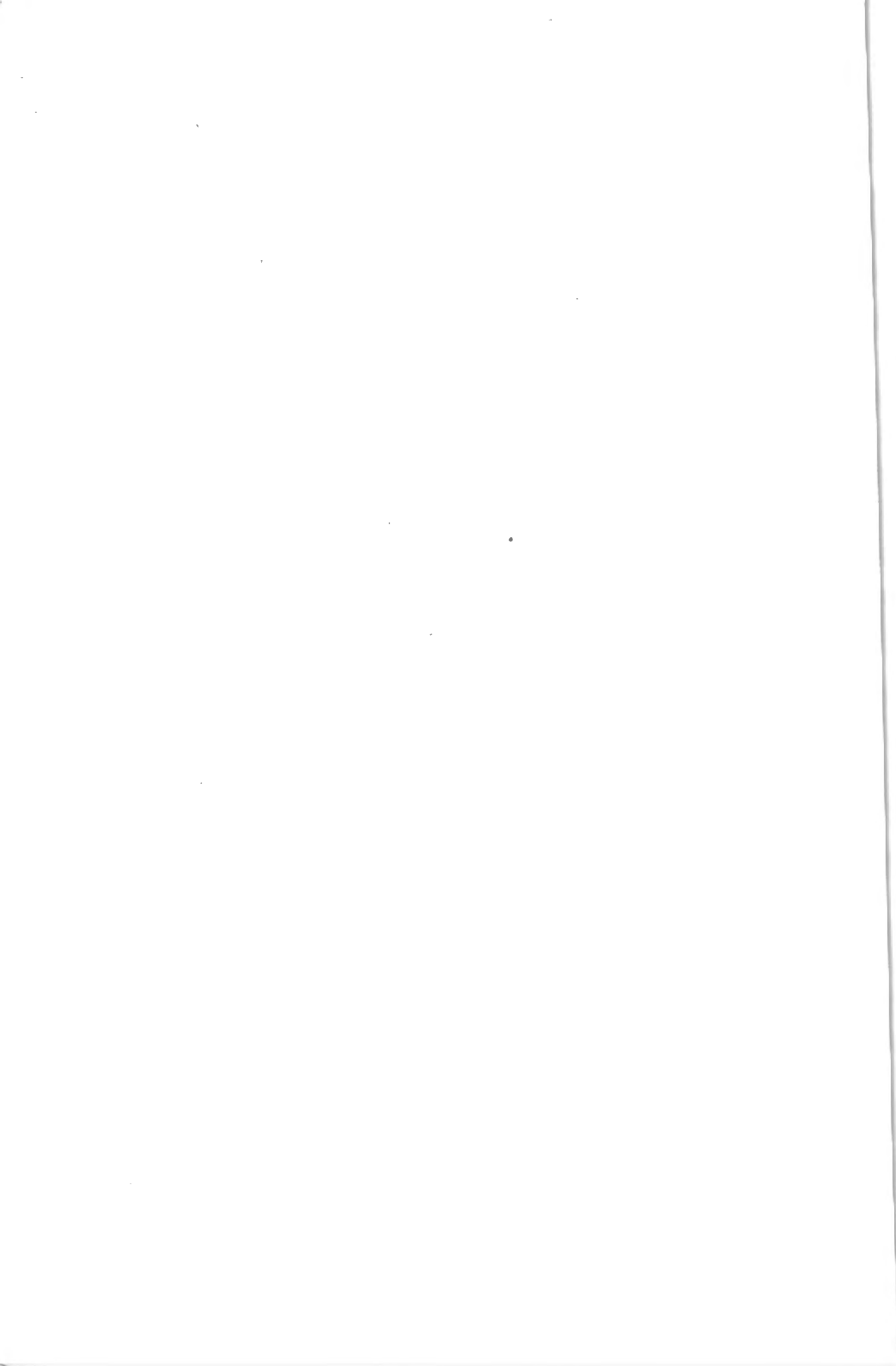


TAVOLA CXVI.

SPIEGAZIONE DELLE FIGURE

Applicazione collaterale di Bungee-jump.

Suppl. D'awari Arcangeli.

*Fig. 265. — Esempio di 1. bungee jump su
aria di 10 metri (x 30).*

A. ARCANOETI srl.

TAVOLA CXI.

SPIEGAZIONE DELLE FIGURE.

Aphiloscia congolensis BUDDE-LUND.

Subsp. *Damasi* ARCANGELI.

Fig. 262. — Exopodite del 1° pleopode sinistro del ♂,
visto dal lato rostrale (x 90).

A. ARCANGELI del.

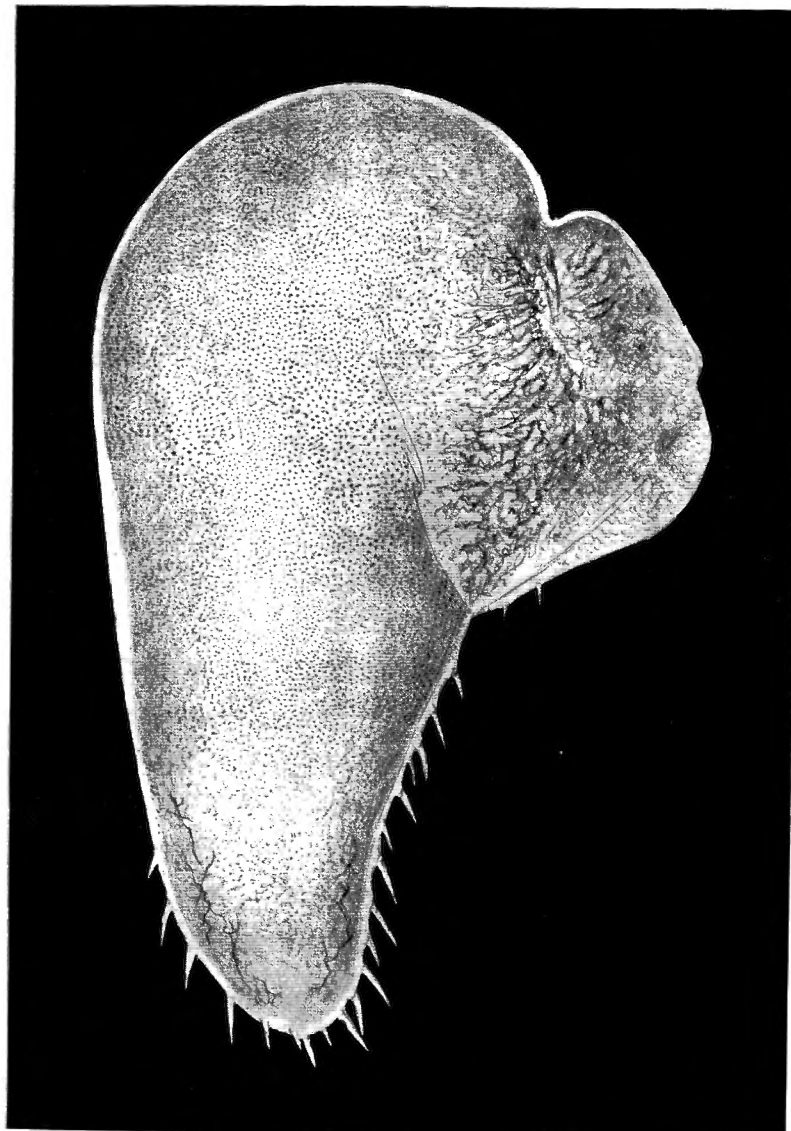


Fig. 262.

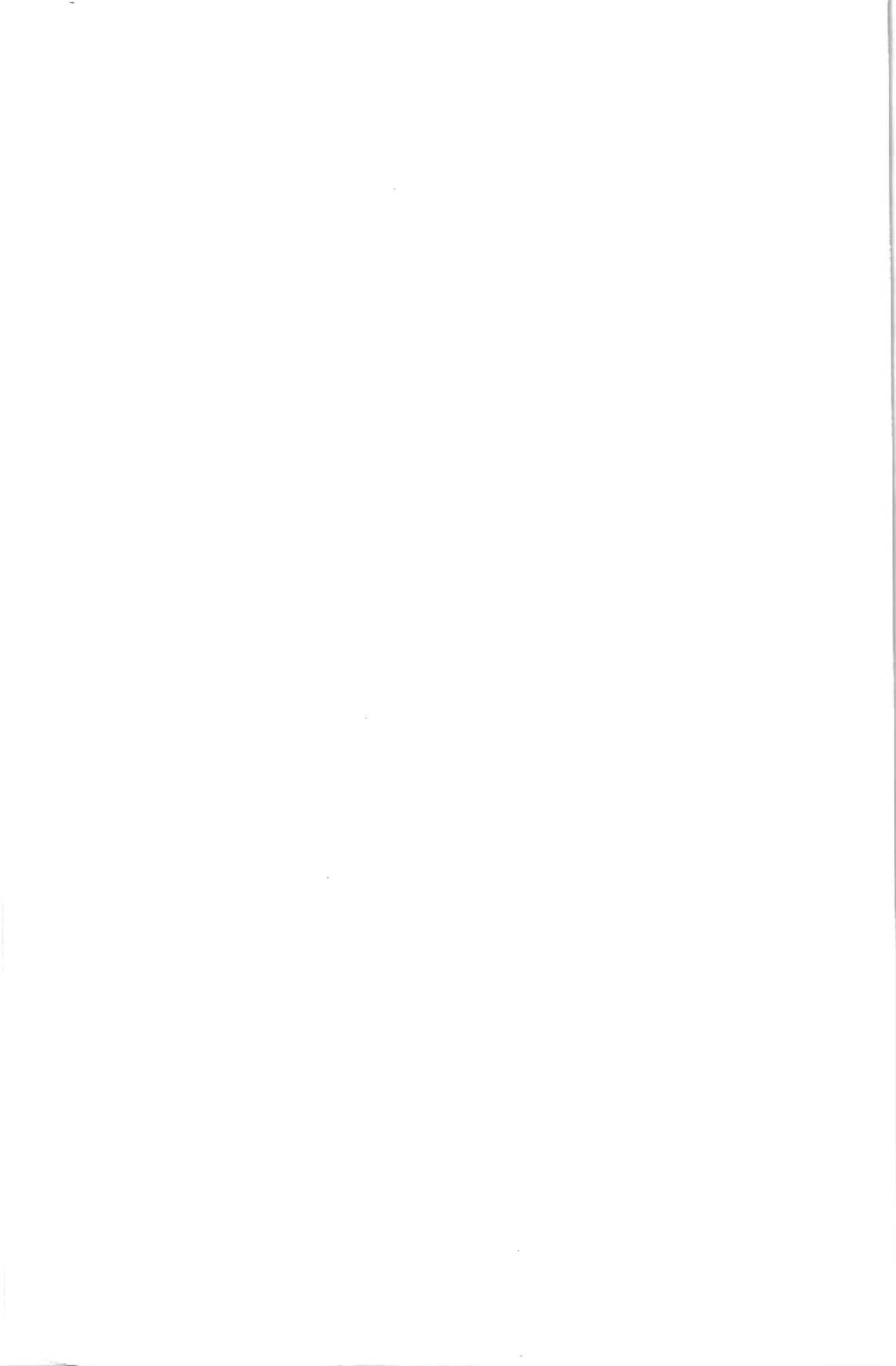


TAVOLA CXVII.

SPIEGAZIONE DELLE FIGURE.

Aberrazione conglobarsi Budden-Luna.

Sopra. Diversi Arcangeli.

Fig. 363. — Penetrazione diretta dell'embriofite del I.
trofoblasto sinistro, visto dal lato rotante
del a (x 440).

Fig. 364. — Embriofite del I. trofoblasto destro delle
viste dal lato rotante (x 30).

A. ARCANGETI del.

TAVOLY CXVII.

SPIEGAZIONE DELLE FIGURE.

Aphiloscia congolensis BUDDE-LUND.

Subsp. *Damasi* ARCANGELI.

Fig. 263. — Estremità distale dell'endopodite del 1º pleopode sinistro, visto dal lato rostrale del ♂ (x 440).

Fig. 264. — Exopodite del 1º pleopode destro della ♀, visto dal lato rostrale (x 90).

A. ARCANGELI del.

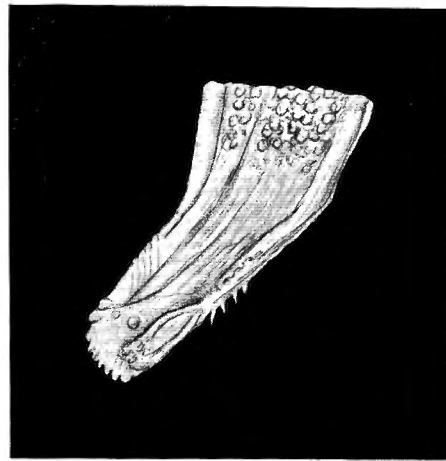


Fig. 263.

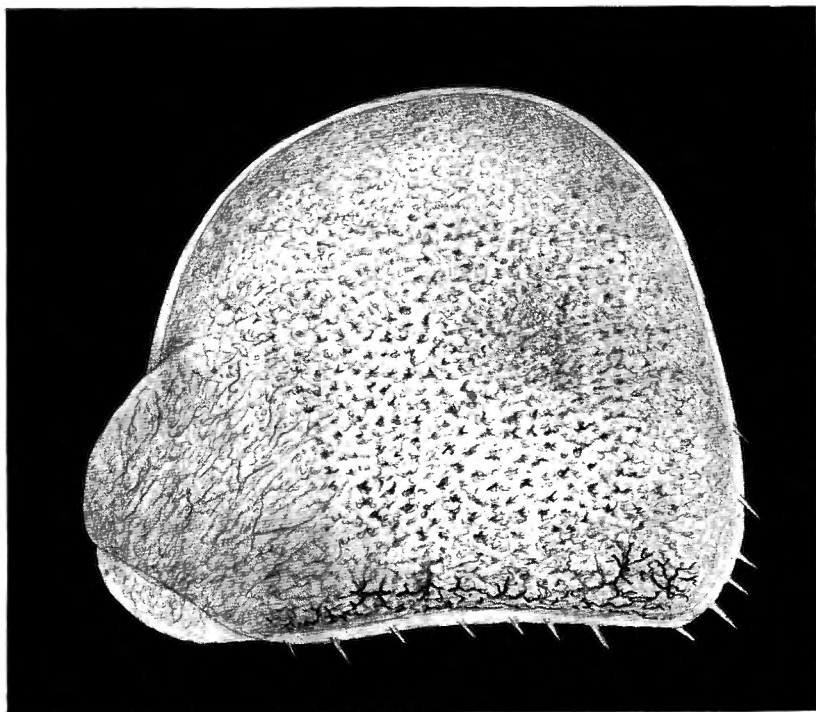


Fig. 264.



TAVOLA CXVIII.

SPIEGAZIONE DELLE FIGURE.

(*Congophiloscia apposita Arcuata*)

Fig. 262. — J. *brevioris*, *brevior*, *bleoepes ex rotoboyi*,

aviti *grosso* ($\times 25,2$).

A. *ARCUATA* *grosso*.

TAVOLA CXIII.

SPIEGAZIONE DELLE FIGURE.

Congophiloscia albofasciata ARCANGELI.

Fig. 265. — 7º pereionite, pleon, pleotelson ed uropodi,
visti dal dorso (x 25,5).

A. ARCANGELI del.

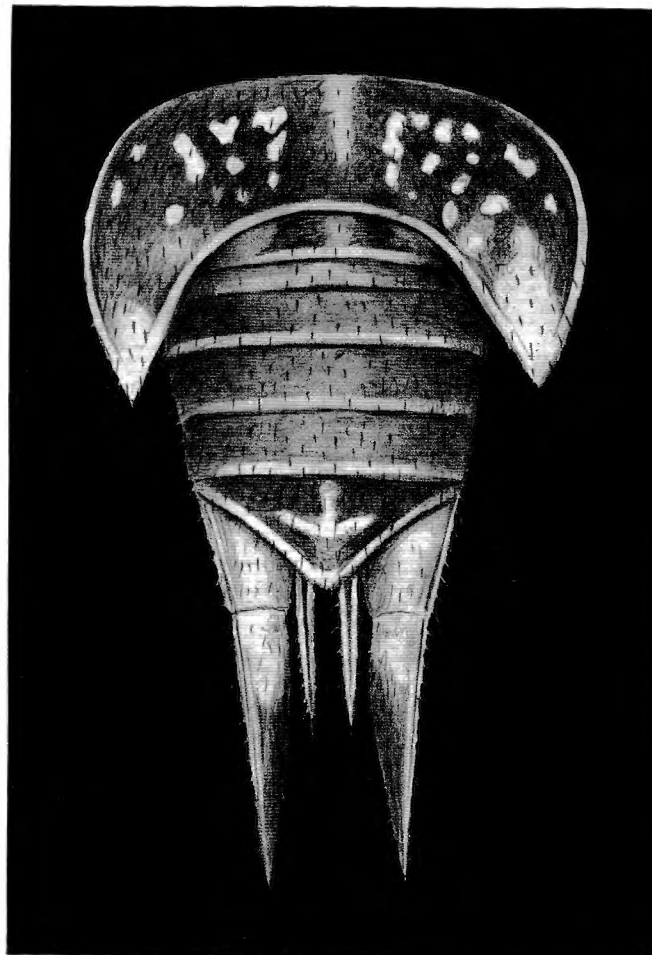


Fig. 265.



TAVOLA CXIX.

SPIEGAZIONE DELLE FIGURE.

Conglobazione delle epitelio-arcinomatose.

Fig. 366. — Prolazione delle epitelio-arcinomatose del 3. rene. (x 440).

Fig. 367. — Adenomatus sinistri, visto dal lato ventrale. (x 440).

Fig. 368. — Parte distale delle ramus interius delle 1. mesocelells destri, visto dal lato emangiato. (x 330).

A. ARCANOMA.

LAVORI CXIX

SPIEGAZIONE DELLE FIGURE.

Congophiloscia albofasciata ARCANGELI.

Fig. 266. — Porzione della superficie del 3° pereionite
(x 440).

Fig. 267. — Antennula sinistra, vista dal lato ventrale
(x 440).

Fig. 268. — Parte distale della lamina interna della 1°
mascella destra, vista dal lato caudale
(x 330).

A. ARCANGELI del.

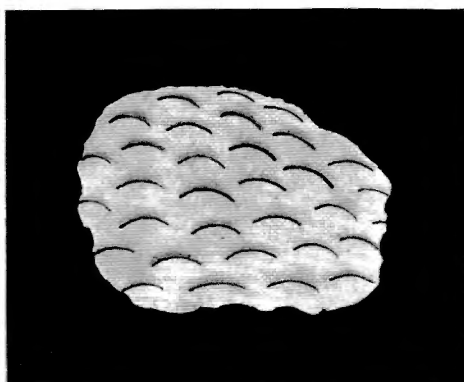


Fig. 266.

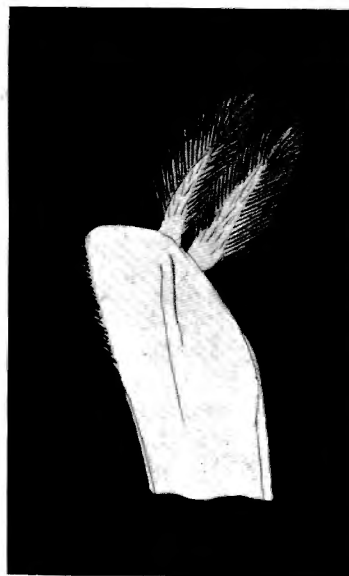


Fig. 268.

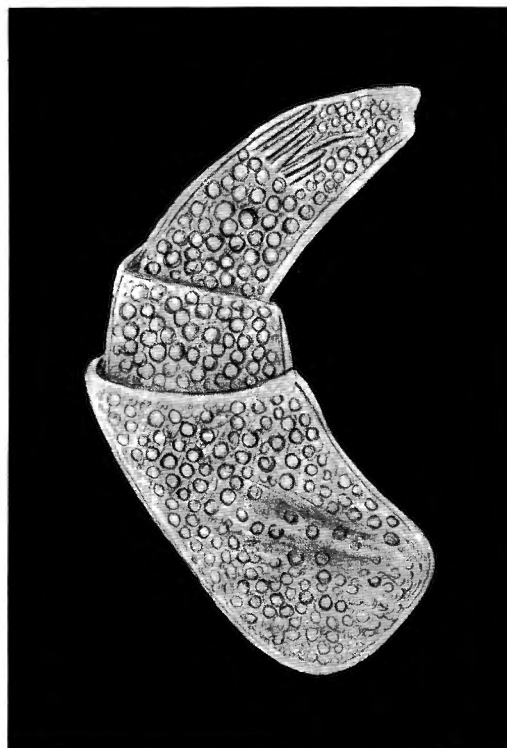


Fig. 267.



TAVOLA CXX.

SPIEGAZIONE DELLE FIGURE.

Conglobazione ipofissicata ARCANOETTI

Fig. 269. — Dette medesime cellule formano estremità
di massicce cellule (x 820).

Fig. 270. — Parte distale del massiccio delle cellule, visto
dal lato opposto (x 440).

V. ARCANOETTI nel

XXVII

SPIEGAZIONE DELLE FIGURE.

Congophiloscia albofasciata ARCANGELI.

Fig. 269. — Dente mediale della lamina esterna della
1° mascella destra ($\times 850$).

Fig. 270. — Parte distale del massillipede destro, visto
dal lato caudale ($\times 440$).

A. ARCANGELI del.

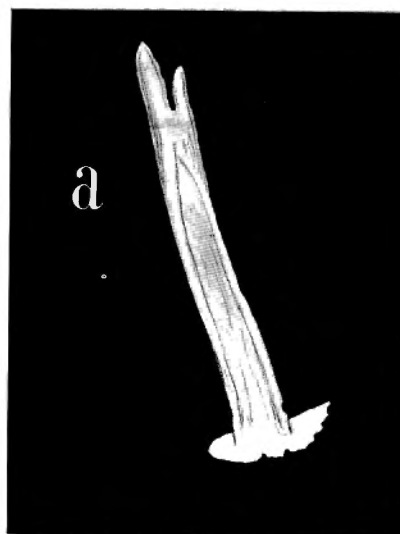


Fig. 269.

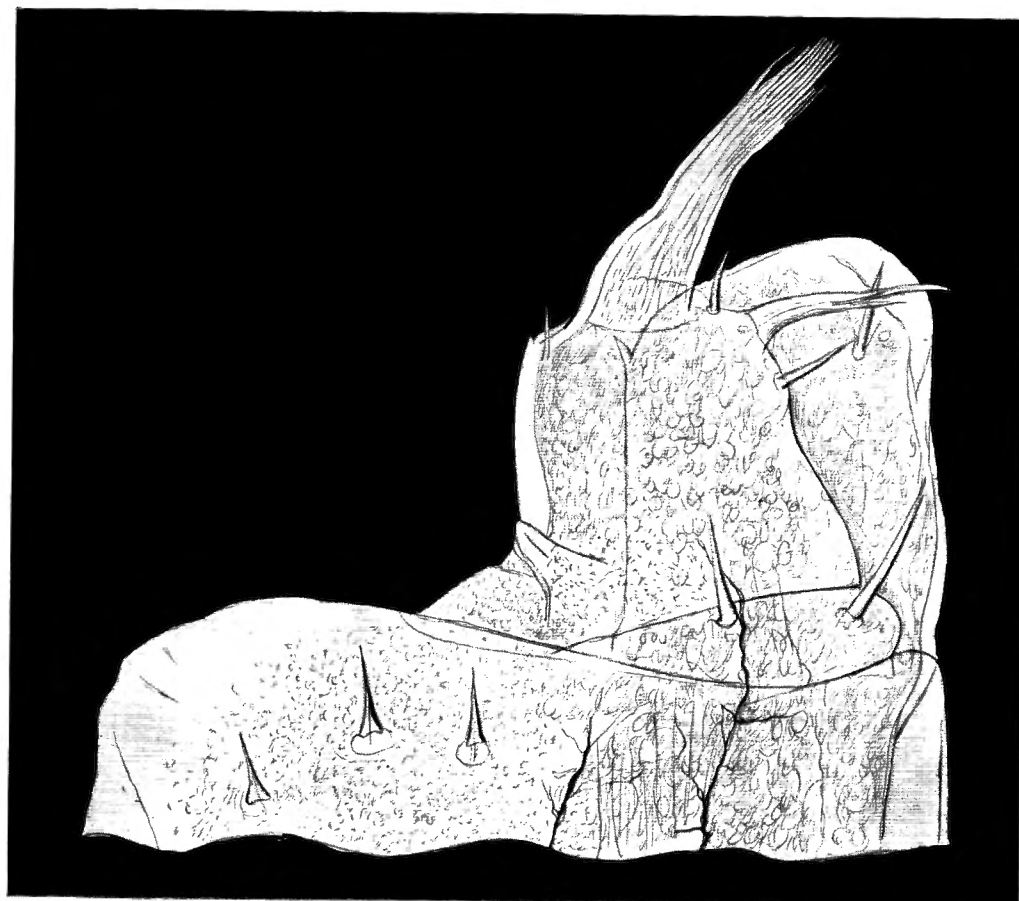


Fig. 270.

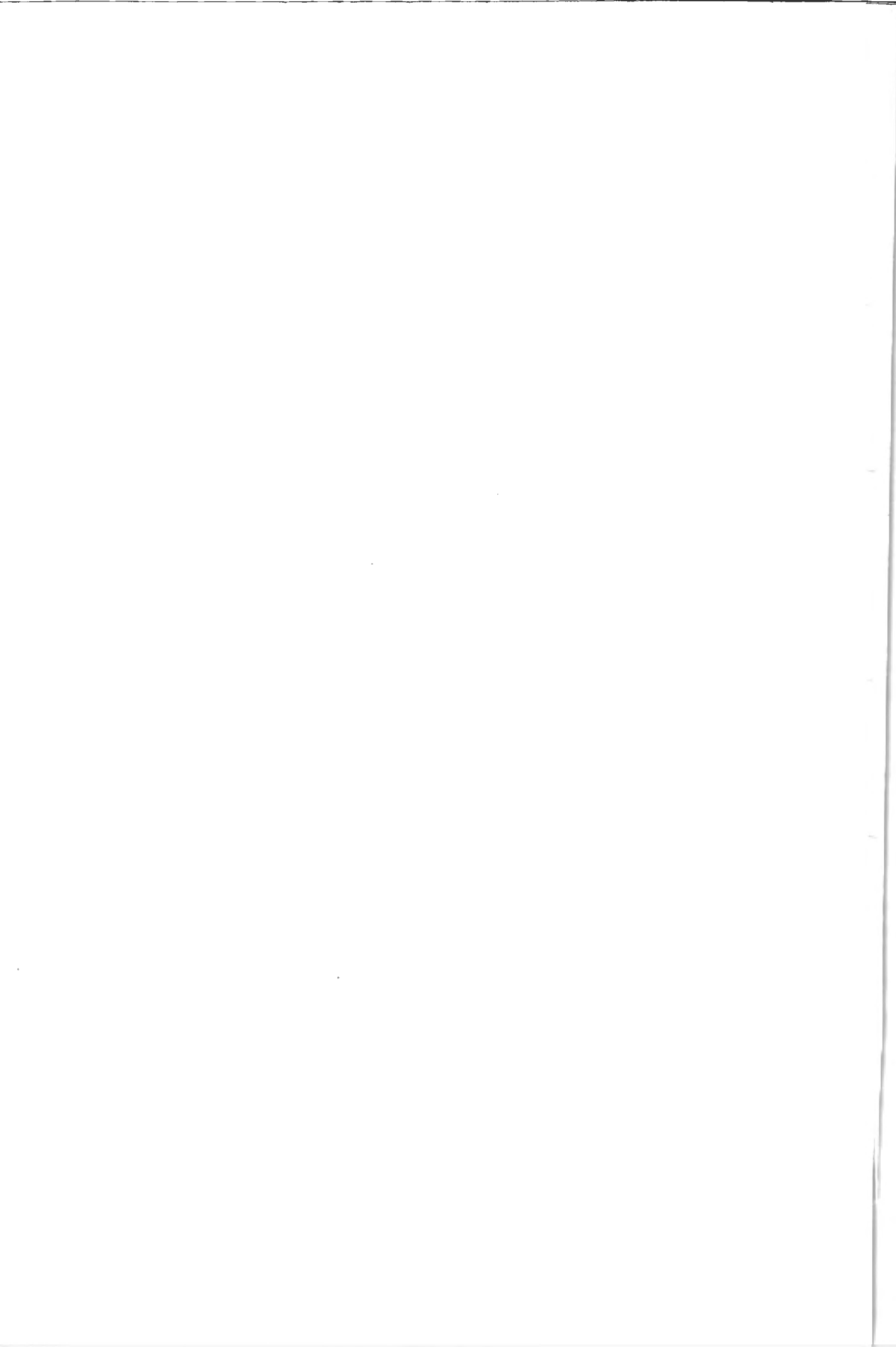


TAVOLA CXXI.

SPIEGAZIONE DELLE FIGURE.

Congegnazione appartenente ARCANOETTI.

Fig. 371. — Metropolite, episcopale, protonotario e suffraganeo del I. beretum deo dextro dei a, vicino dextro verso deo (x 20).

Fig. 372. — Episcopale del I. bieboghe dextro dei a, vicino dextro verso deo (x 20).

Fig. 373. — Patis dextre dell'encapuchine del I. bieboghe dextro dei deo dextro dei a, vicino dextro verso deo (x 40).

A. ARCANOETTI dextro

AVOLO CXXI.

SPIEGAZIONE DELLE FIGURE.

Congophiloscia albofasciata ARCANGELI.

Fig. 271. — Meropodite, carpopodite, propodite e dattilopodite del 1º pereiopode destro del ♂, visto dal lato rostrale (x 90).

Fig. 272. — Exopodite del 1º pleopode destro del ♂, visto dal lato rostrale (x 90).

Fig. 273. — Parte distale dell'endopodite del 1º pleopode destro del ♂, visto dal lato rostrale (x 440).

A. ARCANGELI del.

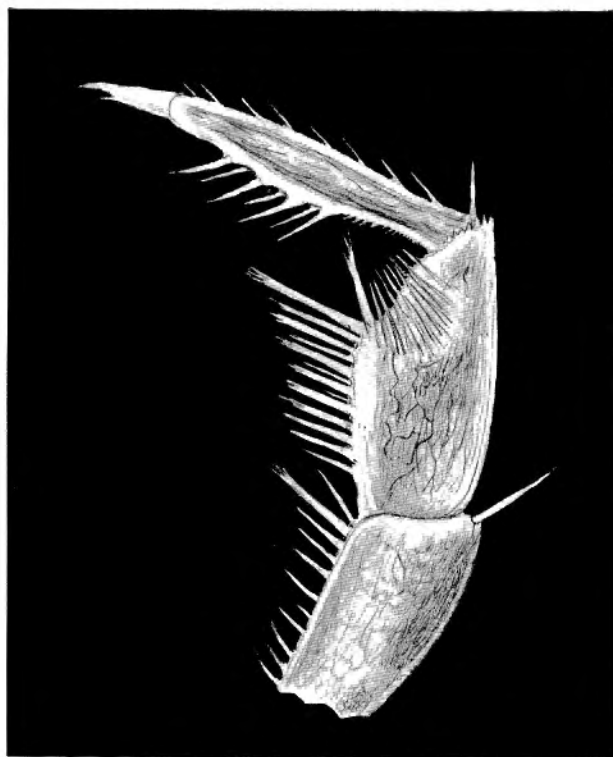


Fig. 271.

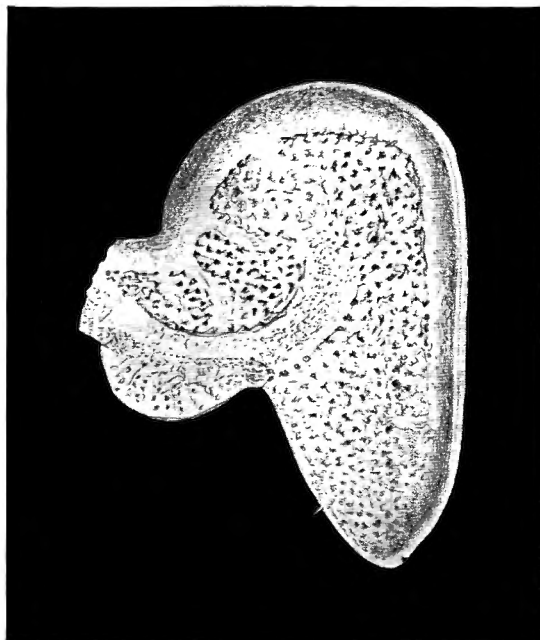


Fig. 272.

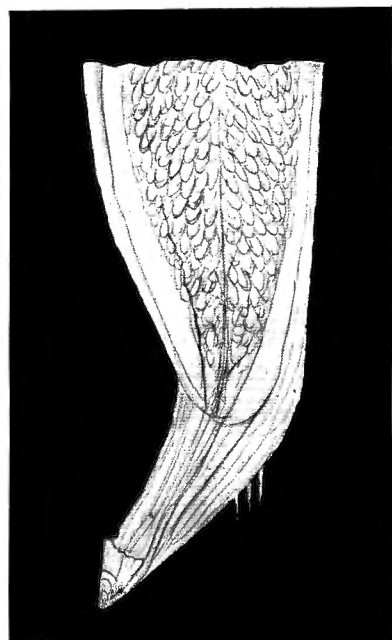


Fig. 273.

